

**İKİ EKLEMLİ ROBOT KOLUNUN  
DİNAMİK ANALİZİNİN YAPILMASI**

**Merdin DANIŞMAZ  
YÜKSEK LİSANS TEZİ  
MAKİNE MÜHENDİSLİĞİ  
ANABİLİM DALI**

**Danışman: Yrd. Doç. Dr. Semiha BULUT**

## FEN BİLİMLERİ ENSTİTÜSÜ MÜDÜRLÜĞÜ'NE

Bu çalışma, jürimiz tarafından, Makine Mühendisliği Anabilim Dalı'nda Yüksek Lisans Tezi olarak kabul edilmiştir.

Başkan ...Doç. Dr. Menafeddin NAMAZOV .....  
Üye ...Doç. Dr. İsfendiyar BAKŞİYEV .....  
Üye ...Yrd. Doç. Dr. Semiha BULUT .....  
Üye .....  
Üye .....

### ONAY

Yukarıdaki imzaların, adı geçen öğretim üyelerine ait olduğunu onaylarım.

.../.../ 2008

FEN BİLİMLERİ ENSTİTÜSÜ MÜDÜRÜ

.....

Bu tez, Cumhuriyet Üniversitesi Senatosunun 05.01.1984 tarihli toplantısında kabul edilen ve daha sonra 30.12.1993 tarihinde C.Ü.Fen Bilimleri Enstitü Müdürlüğünce hazırlanan ve yayınlanan “Yüksek Lisans ve Doktora tez yazım Kılavuzu” adlı yönergeye göre hazırlanmıştır.

# İÇİNDEKİLER

<u>KONULAR</u>	<u>Sayfa</u>
ÖZET .....	i
ABSTRACT .....	ii
TEŞEKKÜR .....	iii
ŞEKİLLER LİSTESİ .....	iv
TABLolar LİSTESİ .....	v
SİMGELER VE KISALTMALAR .....	vi
1.GİRİŞ .....	1
1.1 Robotun Tanımı .....	2
1.2 Robotu Oluşturan Parçalar .....	2
1.3 Eklem Yapıları .....	2
1.4 Manipülatörlerin Sınıflandırılması .....	3
Kartezyen(Cartesian) manipülatör .....	3
Silindirik(Cylindrical) manipülatör .....	3
Küresel(Spherical) manipülatör .....	4
Eklemli(Articulated)-İnsan Kolu(Anthrophomorphic) manipülatör .....	4
2. DÖNÜŞÜMLER .....	5
2.1 Dönme Matrisi .....	5
2.1.1 Euler Açılı ve Gösterilimi .....	7
2.1.2. Roll/Pitch/Yaw Açılı Gösterilimi .....	7
2.2 Öteleme Vektörü .....	8
2.3 Homojen Dönüşüm .....	8
3. DENAVİT-HERTENBERG (DH) DÖNÜŞÜMÜ .....	9
3.1 Denavit-Hartenberg(DH) Dönüşüm Yöntemi .....	9

4. HIZ KİNEMATİKLERİ .....	12
4.1 Jakobyen .....	13
4.2 Tekillikler(Singülerlikler) .....	14
5. İKİ EKLEMLİ PLANAR ROBOT KOLUN DİNAMİK ANALİZİ.....	16
5.1 ROBOT KOLUNUN MATEMATİKSEL OLARAK MODELLENMESİ.....	16
5.1.1 Giriş .....	16
5.1.2 Lagrange Mekaniği .....	17
5.1.2.1 Kinetik ve Potansiyel Enerji .....	17
5.1.2.2 Lagrange Mekaniği .....	18
5.1.2.3 Dinamik Denklemler .....	18
5.2 ROBOT KOLU SEÇİMİ .....	23
5.2.1 Motor Seçimi ve Robot Kolunun Özellikleri .....	24
5.2.2 Motor Sürtünme Değerleri .....	26
5.3 ROBOT KOLUN MATLAB İLE ÇÖZÜMLENMESİ .....	27
5.3.1 Matlaba Giriş .....	27
5.3.2 Transformasyonlar .....	27
5.3.3 Yörüngeler .....	29
5.3.4 Animasyon .....	31
5.3.5 İleri Kinematikler .....	32
5.3.6 Ters Kinematikler .....	34
5.3.7 Jakobiyenler .....	36
5.4 ROBOT KOLUN ANSYS İLE ÇÖZÜMÜ .....	40
5.4.1 Katı Modelin Oluşturulması .....	40
5.4.1.1 Eleman Tipi Seçimi .....	40
5.4.1.2 Malzeme Özelliğinin Girilmesi .....	40
5.4.1.3 Katı Modelin Oluşturulması .....	40
5.4.1.4 Katı Modeli Elemanlarına Ayırma .....	41
5.4.1.5 Sınır Şartlarının Verilmesi .....	41
5.4.1.6 Kuvvetlerin Girilmesi .....	41

5.4.1.7 Modelin ANSYS İle Çözümü .....	42
5.4.1.8 Sonuçların Alınması .....	42
5.4.2. Katı Modelin(Manipulatorun) ANSYS Çözümleme Sonuçları .....	43
6. SONUÇLAR VE ÖNERİLER .....	47
7. KAYNAKLAR .....	48
EK1 ROBOT KOLU TASARIMI İÇİN MATLAB'DA YAZILAN PROGRAM .....	49
ÖZGEÇMİŞ.....	50

## **TEŐEKKÜR**

Çalıőmalarım boyunca yardım ve katkılarıyla beni yönlendiren deęerli hocalarım Yrd. Doç. Dr. Semiha BULUT, Doç. Dr. Manefeddin NAMAZOV ve Doç. Dr. İsfendiyar BAKŐİYEV 'e ve bilgilerinden yararlandıęım dięer tüm hocalarıma teőekkür ederim.

## ŞEKİLLER LİSTESİ

<u>Şekiller</u>	<u>Sayfa</u>
Şekil 1.1: Döner tip eklem .....	3
Şekil 1.2: Kayar tip eklem .....	3
Şekil 1.3: Kartezyen manipülatör .....	4
Şekil 1.4: Silindirik manipülatör .....	4
Şekil 1.5: Küresel manipülatör .....	4
Şekil 1.6: Eklemlı-İnsan kolu manipülatör .....	5
Şekil 2.1: $z_0$ eksenı etrafında dönme .....	6
Şekil 2.2: Euler açıları gösterilimi .....	7
Şekil 2.3: Roll / Pitch /Yaw açıları gösterilimi .....	8
Şekil 2.4: Ötelenmiş çerçeve .....	9
Şekil 3.1: Denavit-Hartenberg çerçeve ataması .....	12
Şekil 3.2: İki uzuvlu düzlemsel manipülatör .....	13
Şekil 5.1: İki Eklemlı Robot Kolunun Eklemlere İndirgenmiş Kütlesel Gösterimi .....	17
Şekil 5.2: İki Eklemlı Robot Kolu .....	23
Şekil 5.3: Robot Kolunun Eklem Koordinatlarının Zamana Göre Değişimi .....	29
Şekil 5.4: Robot Kolunun Eklemlerinin Yörünge Hareketi .....	29
Şekil 5.5: Robot Kolunun x, y, z - eksen Konumlarının Zamana Göre Değişimi .....	32
Şekil 5.6: İki Eklemlı Planar Robot Kolu 3 Boyutlu Gösterimi .....	33
Şekil 5.7: Belirlenen Eksen Takımlarının Zamana Bağlı Konum Değişimi .....	36
Şekil 5.8: Robot Kolunun ANSYS Katı Modeli .....	40
Şekil 5.9: Katı Modelin Elemanlarına Ayrılmış Hali (Mesh) .....	41
Şekil 5.10: Robot Kolunun Sınır Şartları ve Kuvvet Altındaki Görünüşü .....	42
Şekil 5.11: Robot Kolunun Eksenel Yük Altındaki Davranışı .....	43
Şekil 5.12: Robot Kolu Üzerine Gelen Kuvvetler .....	43
Şekil 5.13: Robot Kolu Hareketi Animasyon Görünümü .....	44
Şekil 5.14: Robot Kolu Düşey Yöndeki Toplam gerilmeler .....	44
Şekil 5.15: Robot Kolu Eklemlerine Gelen Normal Gerilmeler .....	45
Şekil 5.16: Robot Kolu Eklemlerine Gelen Normal gerilmeler .....	45
Şekil 5.17: Robot Kolu 1 no lu Ekleme Gelen Normal Gerilmeler .....	46
Şekil 5.18: Robot Kolu 2 no lu Ekleme Gelen Normal Gerilmeler .....	46



## TABLULAR LİSTESİ

<b><u>Tablolar</u></b>	<b><u>Sayfa</u></b>
<b>Tablo 3.1:</b> İki Uzunlu Düzlemsel Manipülatör İçin Parametreler .....	12
<b>Tablo 5.1:</b> Robot kolunun farklı konumları için yüksüz haldeki atalet ve tork değerleri .....	21
<b>Tablo 5.2:</b> Robot kolunun farklı konumları için yüklü haldeki atalet ve tork değerleri .....	21

## SİMGELER VE KISALTMALAR

Bu çalışmada kullanılan bazı simge ve kısaltmalar, açıklamaları ile birlikte aşağıda sunulmuştur.

<u>Simge</u>	<u>Açılama</u>	<u>Birim</u>
L	Lagrange ifadesi	J
K	Kinetik enerji	J
P	Potansiyel enerji	J
T	Dönme momenti	Nm
D	Polar atalet momenti	Nm
I	Atalet momenti	Nm
R	Rotasyon matrisi	
d	Öteleme matrisi	
J	Jakobiyen matrisi	
A	Homojen dönüşüm matrisi	
w	Açısal hız	rad/s
v	Hız	m/s
$\theta$	Açısal yer değiştirme	rad
$\dot{\theta}$	Açısal yer değiştirmenin türevi	rad/s
$\ddot{\theta}$	Açısal yer değiştirmenin ikinci dereceden türevi	rad/s <sup>2</sup>
$l$	Uzunluk	m
$m$	Kütle	kg
r	Yarıçap	m
G	Ağırlık	kg
g	Genelleştirilmiş koordinat	
T	Matris satırlarını sütün yapan operatör	
Tr	Matris köşegen çizgisini toplayan operatör	
V	Hacim	m <sup>3</sup>
g	Yer çekimi ivmesi	m/s <sup>2</sup>
$\mathcal{L}$	Lagrange fonksiyonu	
B	Viscous sürtünme katsayısı	Nm/s
Tc	Coulomb sürtünme katsayısı	Nm/s
G	Dişli oranı	
$F_i$	Güç, Tork	Nm
$i$	Değişken nokta operatörü	

## 1. GİRİŞ

Robotik fiziksel aktivite ve karar verme gibi uygulamalarla bir görevi yürüterek insanların yerini alabilecek makinalarla ilgili çalışmaları içerir. Robotik, geleneksel mühendislik sınırlarını keşiřtiren yeni bir modern teknoloji alanıdır. Robotların karmaşıklığı ve uygulama alanlarını anlamak elektrik-elektronik mühendisliđi, makine mühendisliđi, endüstri mühendisliđi, bilgisayar mühendisliđi ve matematik alanlarında geniş bir bilgi ađı gerektirmektedir.

Robotun tarihçesine bakıldıđında; 1920'li yıllarda Karel Capek bu kavramı ortaya atarlardı. İlk geliřmeler 1940'lı yıllarda olmasına rađmen 1954'de George Devol tarafından ilk olarak programlanabilir robot tasarlanmıřtır. 1956'da henüz fizik öğrencisi olan Joseph Engelberger ticari robotlar konusunda faaliyetlerde bulunmuřtur [1]. Robotlar hakkında ilk ciddi çalıřma ise 1961'de New Jersey-Trenton 'da General Motors tarafından yapılmıřtır. Robotik konusunda yapılan geliřmelerin temelini buradan kaynaklandıđı söylenebilir. 1961'de robot kolunu geri beslemeli kontrolü [2], 1963'de ilk robot görme sistemi ve 1971'de Stanford Üniversitesi tarafından Stanford kolları geliřtirilmiřtir. 1978'de Unimation temelinde General Motors 'un çalıřmalarından esinlenilerek PUMA robotu tasarlanmıřtır. SCARA robotu 1979'da Japonlar tarafından tasarlanmıřtır. İlk doğrudan sürülen robot 1981 yılında Carnegie-Mellon Üniversitesi tarafından tasarlanmıřtır. İki binli yıllarda ise Japonlar tarafından tasarlanan ASIMO robotu, robotik konusunda bu yıllara damgasını vurmuřtur[1].

Robotik sistemler endüstriyel alanlarda sıklıkla kullanılmakta ve her yeni teknolojik geliřimle birlikte geliřtirilmektedir. İnsanların yapamadığı veya yapmasının sakıncalı olduđu işlerde robotik sistemlerin kullanılması kaçınılmaz olmaktadır.

Bu çalıřmada robotikte genel kavramlara değinilecek ve kinematik dinamik modellemesi ele alınarak eklemelere gelen kuvvetler üzerinde durulacaktır. Robotun serbestlik derecesi arttıka sistemin çözümlü doğrusal olmadığı için kinematik denklemlerle ters modellemenin yapılması oldukça zordur. Robotun dinamik özellikleri bilindiđi takdirde robotun yeri kontrol edilebilir. Dinamik modelleme yapıldığında çok küçük kuvvetle bile robot kolu tepkide bulunabilir. Ařırı kuvvet uygulandıđında ise robot kolu çatlayabilir veya osilasyon yapabilir [2].

Bu çalıřmada ayrıca MATLAB ve ANSYS programları kullanılarak iki eklemlili robot kolunun eklem noktalarına gelen kuvvetler belirlenecektir.

## 1.1 Robotun Tanımı

Robot, bir dizi verilen görev çerçevesinde çeşitli programlanmış hareketler ile materyalleri, parçaları, aletleri veya özel donanımları hareket ettirmek için tasarlanmış programlanabilir çok işlevli manipülatördür. Bu tanım Robot Institute of America (RIA) tarafından verilmiştir [1]. Bu bölümde robotu oluşturan parçalar kısaca incelenecektir.

## 1.2 Robotu Oluşturan Parçalar

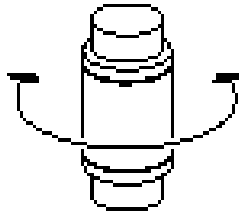
Robot dört ana kısımdan meydana gelir:

1. Bir mekanik yapı yada eklemlerle birbirine bağlanmış sıralı rijid cisimlerden(uzuvlardan) oluşan manipülatör; manipülatör, serbestliği sağlayan bir koldan (arm), el becerisi sağlayan bir bilekten (wrist) ve robotun yapması gereken görevi tamamlayan sonlandırıcıdan (end effector) oluşmaktadır.
2. Eklemlerin hareketlenmesiyle manipülatörün hareketini sağlayan hareketlendiriciler (actuators-motors)
3. Manipülatörün veya çevrenin durumunu gözleyen algılayıcılar (sensors).
4. Manipülatör hareketini kontrol eden ve yöneten bir kontrol sistemi [3].

## 1.3 Eklem Yapıları

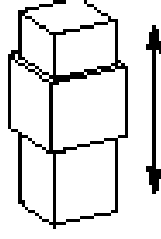
Eklemler manipülatörlerde hareketi sağlayan mekanizmalardır ve yapılarına göre ikiye ayrılırlar:

1. Döner (Revolute – R) Eklemler: Mentşeye benzer ve iki uzuv arasında dönme hareketine izin verir.



**Şekil 1.1:** Döner Tip Eklem

2. Kayar (Prismatic – P) Eklemler: İki uzuv arasında doğrusal harekete izin verir.

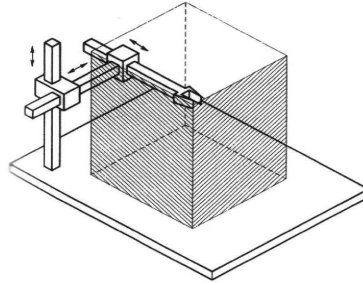


Şekil 1.2: Kayar Tip Eklem

#### 1.4 Manipülörlerin Sınıflandırılması

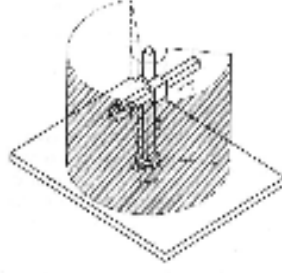
Manipülörler çalışma uzaylarına göre sınıflandırılırlar. Aşağıda manipülör yapıları ve bunların çalışma uzayları görülmektedir.

**1. Kartezyen (Cartesian) manipülör:** Bu tip bir manipülör üç tane kayar tip eklem ile elde edilir. Mekanik yönden çok sağlamdır fakat çalışma uzayındaki hareket yeteneği bakımından zayıftır. Bu tip manipülörler çok büyük boyutlarda ve ağırlıklarda nesnelere hareket ettirmek ve taşımak için idealdir. Kartezyen manipülörlerde eklemleri hareket ettiren motorlar çoğunlukla elektrik bazen de pünomatik motorlarıdır.



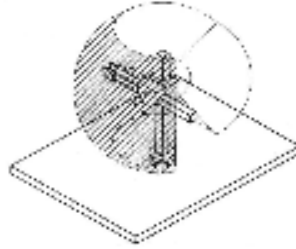
Şekil 1.3: Kartezyen Manipülör

**2. Silindirik (Cylindrical) manipülör:** Bu tip bir manipülör bir tane döner ve iki tane kayar tip eklem ile elde edilir. Bu tip manipülörler de mekanik yönden sağlamdır fakat bilek konum doğruluğu (accuracy) yatay harekete bağlı olarak azalır. Benzer şekilde büyük boyutlu nesnelere taşınmasında kullanılırlar. Bu tip manipülörlerde hidrolik motorları tercih edilir.



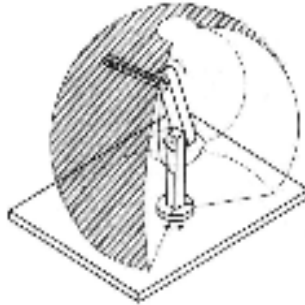
**Şekil 1.4:** Silindirik Manipülâtör

**3. Küresel (Spherical) manipülâtör:** Bu tip bir manipülâtör iki tane döner ve bir tane kayar tip eklem ile elde edilir. Bu tip manipülâtörler mekanik yönden diğer iki tipten daha zayıf, mekanik yapı yönünden daha karmaşıktır. Çoğunlukla makine montajlarında kullanılırlar. Bu tip manipülâtörlerde elektrik motorları tercih edilir.



**Şekil 1.5:** Küresel Manipülâtör

**4. Eklemlî (Articulated) - İnsan kolu (Anthrophomorphic) manipülâtör:** İnsan kol yapısı esas alındığı için bu isim verilmiştir. Bu tip manipülâtörler tüm eklemleri döner olduğundan çalışma uzaylarında en yetenekli manipülâtörlerdir. Endüstriyel uygulamalarda geniş kullanım alanına sahiptirler (boyama, kaynak yapma, montaj, yüzey temizleme vb.). Bu tip manipülâtörlerde elektrik motorları tercih edilir.



**Şekil 1.6:** Eklemlî-İnsan Kolu Manipülâtör

Robotik alanındaki genel kavramlar ařađıdaki ana ve alt bařlıklarda toplanabilir:

1. Dönüřümler:
  - a) Dönme Matrisi
  - b) Öteleme Vektörü
  - c) Homojen Dönüřüm
2. Düz Kinematikler
  - a) Denavit-Hartenberg (DH) Dönüřümü
3. Ters Kinematikler
4. Hız Kinematikleri
  - a) Jakobyen
  - b) Tekillikler
5. Dinamikler
  - a) Lagrange Denklemleri
  - b) Newton-Euler (NE) Denklemleri

İzleyen bölümlerde düz ve ters kinematik denklemleri hariç bu kavramlar tek tek ele alınacaktır [4].

## 2. DÖNÜŐÜMLER

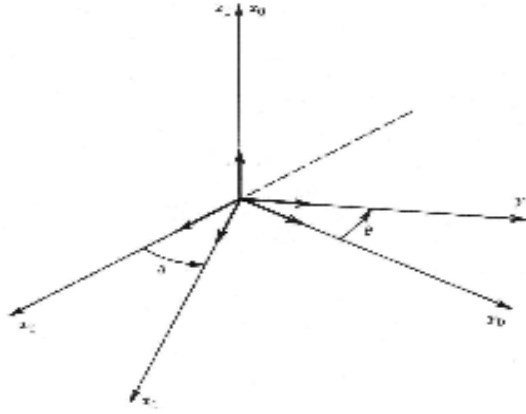
Manipülatör eklemlerle birbirine bağlanmış rijid cisimlerin açık uçlu kinematik zinciri olarak kabul edilir. Zincirin bir ucu yere bađlı iken diđer ucu sonlandırıcıya bađlıdır. Sonuçta bu yapının hareketi her bir uzvun diđerine göre hareketlerinin toplamından oluşturulur. Bunun için önce bir rijid cismin uzaydaki konumunu ve yönelimini belirtmek için dönme (rotation) matrisi ve öteleme (translation) vektörü oluştururuz. Bu matris ve vektörü birleřtirmek için daha sonra homojen dönüřüm denklemlerini kullanırız.

### 2.1 Dönme Matrisi

Őekil 2.1 'de gösterildiđi üzere  $\{i_0, j_0, k_0\}$   $ox_0y_0z_0$  koordinat çerçevesi için ,  $\{i_1, j_1, k_1\}$   $ox_1y_1z_1$  koordinat çerçevesi için birim vektörler olsun. 1. koordinat çerçevesi 0. koordinat çerçevesinde  $z_0$  eksenini etrafında  $\theta$  açısı kadar döndürülerek elde edilmiřtir. Bu iki koordinat çerçevesi arasındaki dönüřüm Eřitlik 2.1.1 ile bulunur. Buradaki  $R_0^1$  matrisi 1. koordinat çerçevesinden 0. koordinat çerçevesine dönme matrisini göstermektedir. 1. koordinat

çerçevesi 0. koordinat çerçevesinden belli bir dönme ile elde edildiğinden bu matris dönme matrisi adını alır [5].

$$R_0^1 = \begin{bmatrix} i_0 i_1 & j_0 i_1 & k_0 i_1 \\ i_0 j_1 & j_0 j_1 & k_0 j_1 \\ i_0 k_1 & j_0 k_1 & k_0 k_1 \end{bmatrix} \quad (2.1.1)$$



**Şekil 2.1:**  $z_0$  Ekseninde Dönme

Burada

$$i_0 i_1 = \cos \theta \quad j_1 i_0 = -\sin \theta \quad (2.1.2)$$

$$j_0 j_1 = \cos \theta \quad i_1 j_0 = \sin \theta$$

$$k_0 k_1 = 1$$

ve diğer tüm nokta çarpımlar sıfır olmak üzere,

$$R_0^1 = \begin{bmatrix} \cos \theta & -\sin \theta & 0 \\ \sin \theta & \cos \theta & 0 \\ 0 & 0 & 1 \end{bmatrix} \quad (2.1.3)$$

dönme matrisi elde edilir.  $R_0^1$  gösterilimi yerine dönme eksenini ve açısını belirten  $R_{z,\theta}$  gösterilimi de kullanılabilir.

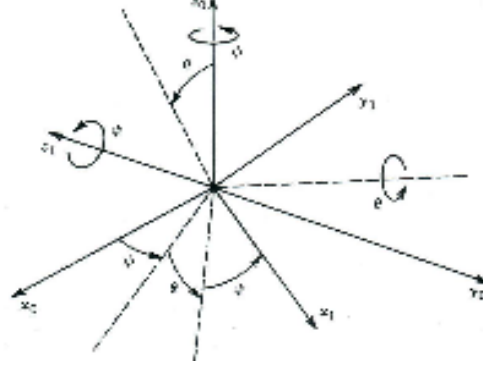
Koordinat çerçeveleri etrafında dönme tek olmayabilir, böylece devam eden şekilde  $OX_2Y_2Z_2$ ,  $OX_3Y_3Z_3$ ,  $OX_4Y_4Z_4$  ... koordinat çerçeveleri elde edilebilir. Aslında sonuçta elde edilen koordinat çerçevesi sadece üç eksen etrafında (x,y,z) belirli açılarla dönmüştür. Bu nedenle elimizde bulunan rasgele bir koordinat çerçevesinin temel koordinat çerçevesine göre dönme matrisini elde etmek için üç tane açı değeri yeterlidir. Bu açıların tanımlanması için iki tane gösterilim mevcuttur:

1. Euler açıları gösterilimi
2. Roll / Pitch / Yaw açıları gösterilimi



### 2.1.1 Euler Açılı ve Gösterilimi

Euler açıları sırasıyla z eksenini etrafında  $\Phi$  açısı kadar, y eksenini etrafında  $\theta$  açısı kadar, tekrar z eksenini etrafında  $\Psi$  açısı kadar dönmelere karşılık gelmektedir. Euler açıları gösterilimi Şekil 2.2 'de verilmiştir.



Şekil 2.2: Euler Açılı Gösterimi

Burada  $\cos = c$ ,  $\sin = s$  olmak üzere dönme matrisi şu şekilde elde edilir :

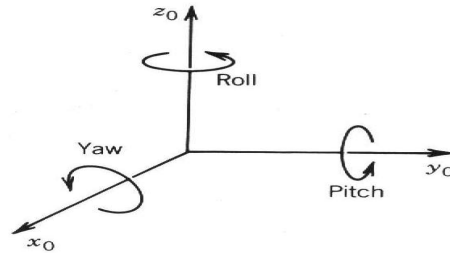
$$R_0^1 = R_{z,\phi} R_{y,\theta} R_{z,\psi} \quad (2.1.4)$$

$$= \begin{bmatrix} c\phi & -s\phi & 0 \\ s\phi & c\phi & 0 \\ 0 & 0 & 1 \end{bmatrix} \begin{bmatrix} c\theta & 0 & s\theta \\ 0 & 1 & 0 \\ -s\theta & 0 & c\theta \end{bmatrix} \begin{bmatrix} c\psi & -s\psi & 0 \\ s\psi & c\psi & 0 \\ 0 & 0 & 1 \end{bmatrix}$$

$$= \begin{bmatrix} c\phi c\theta c\psi - s\phi s\psi & -c\phi c\theta s\psi - s\phi c\psi & c\phi s\theta \\ s\phi c\theta c\psi + c\phi s\psi & -s\phi c\theta s\psi + c\phi c\psi & s\phi s\theta \\ -s\theta c\psi & s\theta s\psi & c\theta \end{bmatrix}$$

### Roll/Pitch/Yaw Açılı ve Gösterilimi

Roll / Pitch / Yaw açıları sırasıyla z eksenini etrafında  $\Phi$  açısı kadar, y eksenini etrafında  $\theta$  açısı kadar ve x eksenini etrafında  $\Psi$  açısı kadar dönmelere karşılık gelmektedir. Roll / Pitch / Yaw açıları gösterilimi Şekil 2.3 'de verilmiştir.



Şekil 2.3: Roll / Pitch / Yaw Açılı Gösterimi

Burada dönme matrisi şu şekilde elde edilir:

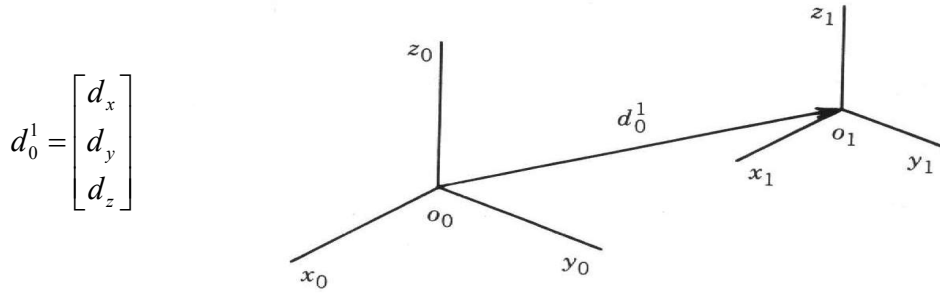
$$R_0^1 = R_{z,\phi} R_{y,\theta} R_{x,\psi} \quad (2.1.5)$$

$$= \begin{bmatrix} c\phi & -s\phi & 0 \\ s\phi & c\phi & 0 \\ 0 & 0 & 1 \end{bmatrix} \begin{bmatrix} c\theta & 0 & s\theta \\ 0 & 1 & 0 \\ -s\theta & 0 & c\theta \end{bmatrix} \begin{bmatrix} 1 & 0 & 0 \\ 0 & c\psi & -s\psi \\ 0 & s\psi & c\psi \end{bmatrix}$$

$$= \begin{bmatrix} c\phi c\theta & -s\phi c\psi + c\phi s\theta s\psi & s\phi s\psi + c\phi s\theta c\psi \\ s\phi c\theta & c\phi c\psi + s\phi s\theta s\psi & -c\phi s\psi + s\phi s\theta c\psi \\ -s\theta & c\theta s\psi & c\theta c\psi \end{bmatrix}$$

## 2.2 Öteleme Vektörü

Şekil 2.4 'de gösterildiği üzere  $oxyz$  'den  $|d|$  kadar bir öteleme ile elde edilmiş  $oxyz$  koordinat çerçevesi düşünelim. Bu iki koordinat çerçevesi arasındaki dönüşüm öteleme vektörü ile tanımlanır.



Şekil 2.4: Ötelenmiş Çerçeve

## 2.3 Homojen Dönüşüm

Üç boyutlu uzayda koordinat çerçeveleri arasındaki dönüşüm dönme matrisleri ve öteleme vektörleri yardımıyla yapılır. Her ikisinin birlikte gösterilimi için yani koordinat çerçeveleri arasında hem dönmenin, hem de ötelemenin var olduğu durumda homojen dönüşüm matrisleri kullanılır. Homojen dönüşüm matrisleri aşağıdaki gibi elde edilir:

$$T_0^1 = \left[ \begin{array}{ccc|c} & & & \\ & R_0^1 & & d_0^1 \\ & & & \\ \hline 0 & 0 & 0 & 1 \end{array} \right]_{4 \times 4} \quad (2.3.1)$$

Burada elde edilen  $T_0^1$  matrisi 1. koordinat çerçevesinden 0. koordinat çerçevesine homojen dönüşüm matrisini göstermektedir.  $T_0^1$  matrisini 4x4 boyutundan kare matris olduğuna dikkat edilmelidir. Bu homojen matris oluşturulurken matrisin tersinin alınabilmesi için yapılmıştır.  $T_0^1$  matrisindeki  $T_{4,4}$  elemanı olan 1 tüm elemanların bire bir ölçeklendiğini göstermektedir.

Bu elde ettiğimiz genel kalıba bağlı olarak temel homojen dönüşüm matrisleri şu şekildedir :

$$\begin{aligned}
 R_{x,\alpha} &= \begin{bmatrix} 1 & 0 & 0 & 0 \\ 0 & c\alpha & -s\alpha & 0 \\ 0 & s\alpha & c\alpha & 0 \\ 0 & 0 & 0 & 1 \end{bmatrix} R_{y,\phi} = \begin{bmatrix} c\phi & 0 & s\phi & 0 \\ 0 & 1 & 0 & 0 \\ -s\phi & 0 & c\phi & 0 \\ 0 & 0 & 0 & 1 \end{bmatrix} R_{z,\theta} = \begin{bmatrix} c\theta & -s\theta & 0 & 0 \\ s\theta & c\theta & 0 & 0 \\ 0 & 0 & 1 & 0 \\ 0 & 0 & 0 & 1 \end{bmatrix} \quad (2.3.2) \\
 d_{x,a} &= \begin{bmatrix} 1 & 0 & 0 & a \\ 0 & 1 & 0 & 0 \\ 0 & 0 & 1 & 0 \\ 0 & 0 & 0 & 1 \end{bmatrix} d_{y,b} = \begin{bmatrix} 1 & 0 & 0 & 0 \\ 0 & 1 & 0 & b \\ 0 & 0 & 1 & 0 \\ 0 & 0 & 0 & 1 \end{bmatrix} d_{z,c} = \begin{bmatrix} 1 & 0 & 0 & 0 \\ 0 & 1 & 0 & 0 \\ 0 & 0 & 1 & c \\ 0 & 0 & 0 & 1 \end{bmatrix}
 \end{aligned}$$

### 3. Denavit - Hartenberg (DH) Dönüşümü

#### 3.1 Denavit - Hartenberg Dönüşüm Yöntemi

Eşitlik 2.3.2 ile elde edilen dönüşüm kolay gibi görünse de her bir eklem için koordinat çerçevelerinin yerleştirilmesi ve birbirlerine göre yorumlanması anlam karmaşasına yol açmaktadır. Bu anlam karmaşasını ortadan kaldırmak için Denavit ve Hartenberg 1955 yılında sistematik bir yöntem önermişlerdir [5].

Bu yöntemde aşağıdaki kurallara göre önce koordinat çerçeveleri atanır, daha sonra dönüşüm için gerekli uzuv ve eklem parametreleri bulunur.

Şekil 3.1,2'de gösterildiği gibi 0,1, i-1 tane koordinat takımının robota bağlandığını varsayalım. z eksenleri eklemlerin dönme eksenleri olarak belirlenir. i 'inci koordinat takımı D-H'e göre yerleşmesi gereken noktaya bağlamak için şu iki durum göz önünde bulundurulmalıdır.

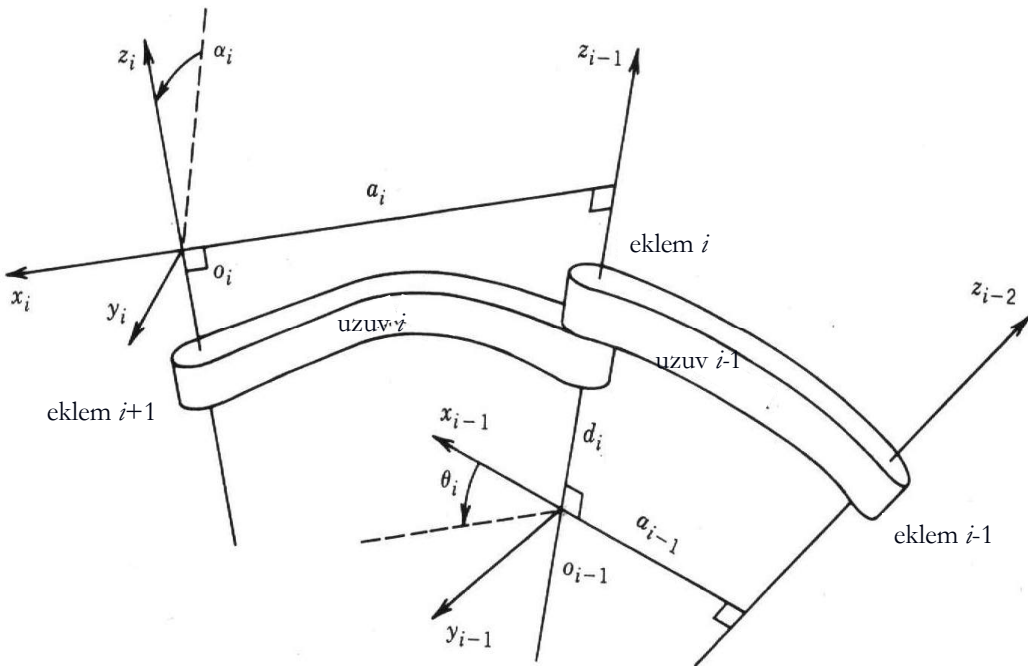
- a)  $z_i$  ve  $z_{i-1}$  eksenleri paralel değilse,
- b)  $z_i$  ve  $z_{i-1}$  eksenleri paralel ise,

İlk olarak a) şıkkını inceleyelim. Eğer bu iki eksen birbirine paralel değilse, bu iki eksene dik olan ve bu iki ekseni dik kesen sadece bir tane doğru çizilebilir. Bu çizilen doğruya  $x$  eksenini gösterir.  $x_i$  eksenini ile  $z_i$  ekseninin kesiştiği nokta  $o_i$  başlangıç noktasıdır. Böylece (DH-1) ve (DH-2) koşulları sağlanmış olur ve  $o_{i-1}$  noktasının  $o_i$  ye olan uzaklığını gösteren vektör  $z_{i-1}$  ve  $x_i$  eksenleri yardımıyla bulunabilir.  $i$ ' inci koordinat takımı,  $y_i$  ekseninin sağ el kuralına uygun olarak seçilmesiyle tamamlanır. Ve böylece homojen transformasyon matrisi oluşturulabilir.

b) Eğer  $z_{i-1}$  ve  $z_i$  eksenleri paralelseler, bu iki eksen dik olarak kesen sonsuz sayıda doğru çizilebilir. Bu durumla çok sık karşılaşıldığı için iyi analiz edilmesi gerekmektedir. Bu durumda (DH-1) koşulu  $x_i$  ekseninin doğrultusunu tam olarak belirleyemez. Bunun için,  $o_i$  eksenini birinci uzuv üzerinde olmak üzere rastgele seçilir.  $o_i$  'den geçen ve  $z_i$  ile  $z_{i-1}$  eksenlerini dik olarak kesen doğru  $x$  eksenini tanımlar.  $z_{i-1}$  ve  $z_i$  paralel olduklarından  $\alpha_i$  de sıfır olacaktır.  $x_i$  belirlendikten sonra saat ibrelerinin tersi yönünde olacak şekilde  $y_i$  'nin de yeri belirlenebilir.

Sonuç olarak söylenebilir ki; Robot kolu terimleri  $l_i$ ,  $d_i$ ,  $\alpha_i$ ,  $\theta_i$  olmak üzere, eklem ister prizmatik, ister döner eklem olsun  $l_i$  ve  $\alpha_i$  parametreleri sabittir.

- Eğer eklem prizmatik ise  $\theta_i$  sabit,  $d_i$  değişkendir.
- Eğer eklem döner eklem ise  $d_i$  sabit,  $\theta_i$  değişkendir.



Şekil 3.1: Denavit - Hartenberg Çerçeve Ataması

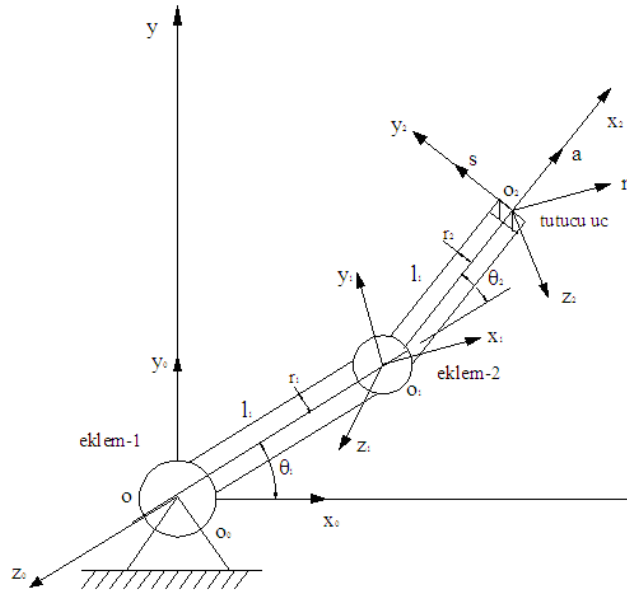
$$A_i = Rot_{z,\theta_i} Trans_{z,d_i} Trans_{x,a_i} Rot_{x,\alpha_i} = \begin{bmatrix} c\theta_i & -s\theta_i c\alpha_i & s\theta_i s\alpha_i & l_i c\theta_i \\ s\theta_i & c\theta_i c\alpha_i & -c\theta_i s\alpha_i & l_i s\theta_i \\ 0 & s\alpha_i & c\alpha_i & d_i \\ 0 & 0 & 0 & 1 \end{bmatrix} \quad (3.1.1)$$

Daha sonra sonlandırıcı koordinat çerçevesinden temel çerçevesine dönüşüm matrisini hesapla.

$$T_0^n = A_1 \dots A_n \quad (3.1.2)$$

### Örnekler:

**Örnek 1:** Şekil 3.2 'deki düzlemsel iki uzuvlu düzlemsel manipülatörü düşünelim.



**Şekil 3.2:** İki Eklemlili Düzlemsel Manipülatör

Eklem eksenleri  $z_0$  ve  $z_1$  sayfa düzlemine diktir.  $o_0x_0y_0z_0$  temel koordinat çerçevesini Şekil 3.3 'de görüldüğü üzere sağ el kuralına bağlı olarak düzenleriz. Merkezi  $z_0$  ekseninin sayfa düzlemiyle kesiştiği noktaya yerleştirilmiştir ve  $x_0$  ekseninin seçimi tamamen rasgeledir. Temel koordinat çerçevesi yerleştirildiğinde DH dönüşüm kurallarında belirtildiği gibi  $o_1x_1y_1z_1$  çerçevesi yerleştirilir. Bu çerçevenin merkezi  $o_1$ ,  $z_1$  eksenini ile sayfa düzleminin kesiştiği noktaya yerleştirilmiştir. Son çerçeve  $o_2x_2y_2z_2$  merkez  $o_2$  'yi uzuv 2'nin sonunda seçerek yerleştirilir. Daha sonra oluşturulan şekilden yola çıkarak uzuv ve eklem parametreleri bulunur [6].

Uzuv	$a_i$	$\alpha_i$	$d_i$	$\theta_i$
1	$a_1$	0	0	$\theta_1^*$
2	$a_2$	0	0	$\theta_2^*$

**Tablo 3.1:** İki Uzuvlu Düzlemsel Manipülatör İçin Parametreler

Tablo 3.1 'de \* ile verilen parametreler değişken değerli parametrelerdir. Eşitlik 3.1.1'den yararlanarak ve Tablo 3.1 'i kullanarak  $A$  matrisleri şu şekilde bulunur;

$$A_1 = \begin{bmatrix} c_1 & -s_1 & 0 & a_1c_1 \\ s_1 & c_1 & 0 & a_1s_1 \\ 0 & 0 & 1 & 0 \\ 0 & 0 & 0 & 1 \end{bmatrix} \quad (3.1.3)$$

$$A_2 = \begin{bmatrix} c_2 & -s_2 & 0 & a_2c_2 \\ s_2 & c_2 & 0 & a_2s_2 \\ 0 & 0 & 1 & 0 \\ 0 & 0 & 0 & 1 \end{bmatrix} \quad (3.1.4)$$

Elde edilen  $A$  matrisleri Eşitlik 3.1.2'de yerine koyulursa

$$T_0^2 = A_1A_2 = \begin{bmatrix} c & -s & 0 & a_1c_1 + a_2c_{12} \\ s & c & 0 & a_1s_1 + a_2s_{12} \\ 0 & 0 & 1 & 0 \\ 0 & 0 & 0 & 1 \end{bmatrix} \quad (3.1.5)$$

olur. Burada  $c_{12}$  ifadesi  $\cos(\theta_1+\theta_2)$ 'ye, benzer şekilde  $s_{12}$  ifadesi  $\sin(\theta_1+\theta_2)$ 'ye karşılık gelmektedir. Burada  $T_0^2$  matrisinin son sütunun birinci ve ikinci elemanları sırasıyla  $o_2$  merkezinin temel koordinat çerçevesindeki x ve y bileşenleri olduğuna dikkat edilmelidir [6].

#### 4. HIZ KİNEMATİKLERİ

Matematiksel olarak düz kinematikler, kartezyen konum ve yönelim uzayı ile eklem konumları arasında bir işlev tanımlar. Hız kinematiklerini (sonlandırıcının doğrusal ve açılal hızları) bu işlevin Jakobyen 'ini belirleyerek elde edebiliriz [6].

## Jakobiyen

Jakobyen matrisi değerli bir işlevdir ve skaler bir işlevin türevinin vektörel hali olarak düşünülebilir. Bu Jakobyen veya Jakobyen matrisi robotikte aşağıdaki alanlarda büyük önem taşır.

1. Düzgün yörünge (smooth trajectory) türetilmesi
2. Tekil (Singüler) konfigürasyonların bulunması
3. Hareket denklemlerinin türetilmesi
4. Sonlandırıcı kuvvet ve momentlerinin diğer manipülatör eklemlerine taşınması

$n$  eklemlili bir manipülatör için Jakobyen, eklem hızlarının  $n$ -vektörü ile sonlandırıcının  $6$  vektörden oluşan doğrusal ve açısız hızları arasındaki ilişkiyi verir. Buna göre  $n$  eklemlili bir manipülatör için Jakobyen  $6 \times n$  boyutunda bir matristir [7].

Jakobyen için genel ifade

$$\underline{\mathbf{v}}_0^n = J_v \dot{\underline{\mathbf{q}}} \quad (4.1.1)$$

$$\underline{\boldsymbol{\omega}}_0^n = J_\omega \dot{\underline{\mathbf{q}}} \quad (4.1.2)$$

$$\begin{bmatrix} \underline{\mathbf{v}}_0^n \\ \underline{\boldsymbol{\omega}}_0^n \end{bmatrix} = J_0^n \dot{\underline{\mathbf{q}}} \quad (4.1.3)$$

$$J_0^n = \begin{bmatrix} J_v \\ J_\omega \end{bmatrix} \quad (4.1.4)$$

şeklindedir. Jakobyen matrisi  $n$  uzuvlu bir manipülatör için sırasıyla sütunların düzenlenmesiyle oluşturulur.

$$J_0^n = [J_1 J_2 \cdots J_n] \quad (4.1.5)$$

Buna göre eğer eklem  $i$  dönerse sütun  $i$

$$J_i = \begin{bmatrix} z_{i-1} \times (\underline{o}_n - \underline{o}_{i-1}) \\ z_{i-1} \end{bmatrix} \begin{matrix} \rightarrow J_v \\ \rightarrow J_\omega \end{matrix} \quad (4.1.6)$$

Eğer eklem  $i$  kayarsa sütun  $i$

$$J_i = \begin{bmatrix} z_{i-1} \\ \mathbf{0} \end{bmatrix} \begin{matrix} \rightarrow J_v \\ \rightarrow J_\omega \end{matrix} \quad (4.1.7)$$

olur [7].

## Örnek 2:

Tekrar Şekil 3.2 'deki iki uzuvlu düzlemsel manipülatörü ele alalım. Burada  $n=2$  olduğundan Jakobyen  $6 \times 2$  boyutundadır ve şu şekilde ifade edilir:

$$J(q) = \begin{bmatrix} z_0 \times (\underline{q}_2 - \underline{q}_0) & z_1 \times (\underline{q}_2 - \underline{q}_1) \\ z_0 & z_1 \end{bmatrix} \quad (4.1.8)$$

Burada  $\underline{q}_0$ ,  $\underline{q}_1$ ,  $\underline{q}_2$  sırasıyla sıfırncı, birinci ve ikinci koordinat çerçevelerinin merkezleridir. Eşitlik 5.1.8'de gerekli değişkenleri Şekil 3.3 'den yararlanarak bulursak;

$$\underline{q}_0 = \begin{bmatrix} 0 \\ 0 \\ 0 \end{bmatrix} \quad \underline{q}_1 = \begin{bmatrix} a_1 c_1 \\ a_1 s_1 \\ 0 \end{bmatrix} \quad \underline{q}_2 = \begin{bmatrix} a_1 c_1 + a_2 c_{12} \\ a_1 s_1 + a_2 s_{12} \\ 0 \end{bmatrix} \quad (4.1.9)$$

ve

$$z_0 = z_1 = \begin{bmatrix} 0 \\ 0 \\ 1 \end{bmatrix} \quad (4.1.10)$$

olur. Bu değerleri Eşitlik 4.1.8'de yerine koyarsak;

$$J(q) = \begin{bmatrix} -a_1 s_1 - a_2 s_{12} & -a_2 s_{12} \\ a_1 c_1 + a_2 c_{12} & a_2 c_{12} \\ 0 & 0 \\ 0 & 0 \\ 0 & 0 \\ 1 & 1 \end{bmatrix} \quad (4.1.11)$$

olarak bulunur.

## 4.2 Tekillikler (Singülerlikler)

Jakobyen matrisinin rankının azaldığı ( $\det(J)=0$ ) manipülatör konfigürasyonları tekillikler veya tekil konfigürasyonlar olarak adlandırılabilir. Ranktaki bu azalma serbestlik derecesinde azalma olarak da kabul edilebilir.

Tekilliklerin belirlenmesi şu sebeplerden önemlidir;

1. Tekillikler yapılamayacak hareketleri veya ulaşamayacak noktaları belirtebilir.
2. Tekilliklerde küçük sonlandırıcı hızları büyük eklem hızlarına sebep olabilir.



3. Tekilliklerde ters kinematik problemleri için çözüm olmayabilir veya sonsuz sayıda çözüm olabilir.

Tekillikler incelemede kolaylık getirmesi açısından iki kısımda incelenebilir:

1. Kolun hareketi sonucu oluşan kol tekillikleri
2. Bileğin hareketi sonucu oluşan bilek tekillikleri [8].

### Örnek 3:

6'dan daha az uzva sahip manipülatörlerin Jakobyen matrisleri kare değildir, bu yüzden determinantı hesaplanamaz. Bu tip manipülatörlerin tekilliklerinin belirlenmesi için Jakobyen matrisinin gerekli kısımları incelenir. Tekrar Şekil 3.2 'deki iki uzuvlu düzlemsel manipülatörü ele alırsak;

$$J(q) = \begin{bmatrix} -a_1s_1 - a_2s_{12} & -a_2s_{12} \\ a_1c_1 + a_2c_{12} & a_2c_{12} \\ 0 & 0 \\ 0 & 0 \\ 0 & 0 \\ 1 & 1 \end{bmatrix} \quad (4.2.1)$$

Matrisin bizim için gerekli 2x2'lik kısmının determinantını hesaplırsak

$$\det(J) = \begin{vmatrix} -a_1s_1 - a_2s_{12} & -a_2s_{12} \\ a_1c_1 + a_2c_{12} & a_2c_{12} \end{vmatrix} = a_1a_2s_2 \quad (4.2.2)$$

olarak bulunur. Eşitlik 4.2.2'den yola çıkarak bu manipülatör için  $\theta_2=0$  ve  $\theta_2=\pi$  değerli duruşların tekillikler olduğunu söyleyebiliriz [6].

## 5. İKİ EKLEMLİ PLANAR ROBOT KOLUN ANALİZİ

### 5.1 ROBOT KOLUNUN MATEMATİKSEL OLARAK DİNAMİK ANALİZİ

#### 5.1.1 Giriş

Bu bölümde robot kolunun dinamiği incelenecektir. Robot kolunun hareketi eklemlere uygulanan kuvvet ile belirlenir. Bu nedenle eklemlere uygulanacak kuvvet yada moment büyüklüklerinin zamana göre konumu, hızı ve ivmesi irdelenmelidir. Biz bu çalışmamızda eklemlere gelen torklar üzerinde duracağız.

Robot kolları karmaşık dinamik sistemler olarak tarif edilir ve problemlerin çözümünde dinamik analizleri yapabilmek için birçok düzenli yaklaşımlardan yararlanır. Çok karmaşık sistemlerin dinamik eşitliklerini kolay bir tarzda elde edebilmek için Lagrange eşitliklerini kullanmak bize yardımcı olacaktır.

Dinamik denklemler konum, hız ve ivme ile güç ve tork arasında ilişkiler kurar. Ve genellikle genellikle robot kolunun hareket denklemlerini elde etmek için çözümler. Yani güç ve torklar girildiğinde bu denklemler sistem hareketinin sonuçlarını verirler. Bu durumda denklemleri çözmek gerekmez. Çünkü elde edilen denklemlerle robot kolunun hareketi belirtilmiş olur. Ancak sisteme uygulanacak güç ve tork değerlerinin iyi bilinmesi gerekir. Elde edilen dinamik denklemler kullanılarak bu bilgileri de elde edebiliriz [4].

İleride de görüleceği gibi robot kolunun dinamik denklemlerini elde ederken her bir noktada efektif ataletler ve bu noktalar arasında bağıl ataletler için yaklaşımlar elde ediyoruz. Bunu yaparken de söz konusu nokta için ivme ve tork arasındaki ilişkiyi belirlememiz gerekiyor. Ayrıca ağırlık etkilerini sistem içersinde inceleyebilmek amacıyla robot kolunun eklemlerine uygulamak için ayrıca torklara karar veriyoruz. Sistemin hıza bağlı torkları ise genellikle ihmal edilir [9].

Robot kollarının dinamik denklemlerini elde etmek için kullanılan yöntemlerden bazıları şunlardır;

1. Lagrange – Euler (L-E)
2. Newton – Euler (N-E)
3. Rekursif Lagrange (R-L)
4. Genelleştirilmiş D'Alembert Yöntemi

şeklindedir. Bunlardan Lagrange-Euler ve Newton-Euler yöntemleri en çok kullanılan yöntemlerdir [9].

### 5.1.2 Lagrange Mekaniği

Lagrange L, kinetik enerji K ve potansiyel enerji P arasındaki fark olarak tarif edilir.

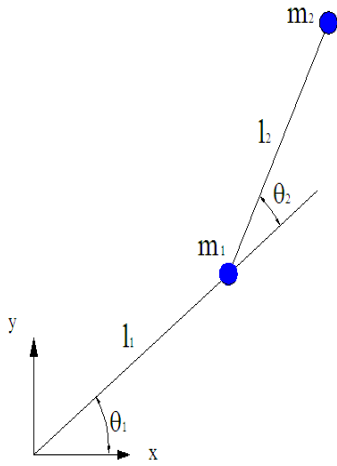
$$L = K - P \quad (5.1)$$

Kinetik ve potansiyel enerjileri belirli bir koordinatlara göre tarif etmek için kullanılan eşitlik şu şekildedir [4].

$$\frac{d}{dt} \frac{\partial L}{\partial \dot{q}_i} - \frac{\partial L}{\partial q_i} = F_i \quad (5.2)$$

Buradan  $q_i$  kinetik ve potansiyel enerjileri ifade etmek için kullanılır.  $q_i$  uygun hız ve  $F_i$  uygun güç ve torktur.  $F_i$ ,  $q_i$  'nin doğrusal veya açısal koordinatta olmasına göre sırasıyla güç veya torktur.

Şekil 5.1 'de görünen iki eklemlili robot kolunu düşünelim. Burada  $m_1$ ,  $m_2$  birinci ve uzuvların kütleleri,  $l_1$ ,  $l_2$  uzunluklarıdır.  $\theta_1$  ve  $\theta_2$  genel koordinatlarda seçilmiş uzuv açıları olarak tarif edilir.



**Şekil 5.1:** İki Eklemlili Robot Kolunun Eklemlere İndirgenmiş Kütleli Gösterimi

#### 5.1.2.1 Kinetik ve Potansiyel Enerji

Öncelikle kinetik enerjiyi hesaplayalım. Kinetik enerjinin genel ifadesi olan  $K = 1/2 \cdot mV^2$  formülünü sistemimize uygun olarak yazarsak 1 no lu uzvun kinetik enerjisi ;

$$K_1 = 1/2 \cdot m_1 \cdot l_1^2 \cdot \dot{\theta}_1^2 \quad (5.3)$$

Potansiyel enerji ise y koordinatı ile tanımlanmış dikey yükseklik ve kütle ile ilişkilidir. Ve şu şekilde yazılabilir.

$$P_1 = -m_1 \cdot g \cdot l_1 \cdot \cos(\theta_1) \quad (5.4)$$

Bu şekilde 1 ve 2 no lu uzvun kinetik ve potansiyel enerjileri tanımlanmış olur. İkinci uzvun kinetik ve potansiyel enerjileri için öncelikle uzvun kartezyen koordinatlardaki yeri tanımlanmalıdır. Ve şu şekilde ifade edilir;

$$x_2 = l_1 \cdot \sin(\theta_1) + l_2 \cdot \sin(\theta_1 + \theta_2) \quad (5.5)$$

$$y_2 = -l_1 \cdot \cos(\theta_1) - l_2 \cdot \cos(\theta_1 + \theta_2) \quad (5.6)$$

Koordinatlara bağlı kartezyen hız bileşenleri ise şu şekildedir ;

$$\dot{x}_2 = l_1 \cdot \cos(\theta_1) \cdot \dot{\theta}_1 + l_2 \cdot \cos(\theta_1 + \theta_2) \cdot (\dot{\theta}_1 + \dot{\theta}_2) \quad (5.7)$$

$$\dot{y}_2 = -l_1 \cdot \sin(\theta_1) \cdot \dot{\theta}_1 - l_2 \cdot \sin(\theta_1 + \theta_2) \cdot (\dot{\theta}_1 + \dot{\theta}_2) \quad (5.8)$$

Kinetik enerji denklemini elde etmek için hız büyüklüğünün karesini alırsak;

$$\begin{aligned} V_2^2 &= \dot{x}_2^2 + \dot{y}_2^2 \\ &= l_1^2 \cdot \dot{\theta}_1^2 + l_2^2 \cdot (\dot{\theta}_1^2 + 2 \cdot \dot{\theta}_1 \cdot \dot{\theta}_2 + \dot{\theta}_2^2) + 2 \cdot l_1 \cdot l_2 \cdot \cos(\theta_1) \cdot \cos(\theta_1 + \theta_2) \cdot (\dot{\theta}_1^2 + \dot{\theta}_1 \cdot \dot{\theta}_2) \\ &\quad + 2 \cdot l_1 \cdot l_2 \cdot \sin(\theta_1) \cdot \sin(\theta_1 + \theta_2) \cdot (\dot{\theta}_1^2 + \dot{\theta}_1 \cdot \dot{\theta}_2) \\ &= l_1^2 \cdot \dot{\theta}_1^2 + l_2^2 \cdot (\dot{\theta}_1^2 + 2 \cdot \dot{\theta}_1 \cdot \dot{\theta}_2 + \dot{\theta}_2^2) + 2 \cdot l_1 \cdot l_2 \cdot \cos(\theta_2) \cdot (\dot{\theta}_1^2 + \dot{\theta}_1 \cdot \dot{\theta}_2) \end{aligned} \quad (5.9)$$

Ve kinetik enerji ;

$$K_2 = 1/2 \cdot m_2 \cdot l_1^2 \cdot \dot{\theta}_1^2 + 1/2 \cdot m_2 \cdot l_2^2 \cdot (\dot{\theta}_1^2 + 2 \cdot \dot{\theta}_1 \cdot \dot{\theta}_2 + \dot{\theta}_2^2) + m_2 \cdot l_1 \cdot l_2 \cdot \cos(\theta_2) \cdot (\dot{\theta}_1^2 + \dot{\theta}_1 \cdot \dot{\theta}_2) \quad (5.10)$$

Potansiyel enerji ;

$$P_2 = -m_2 \cdot g \cdot l_1 \cdot \cos(\theta_1) - m_2 \cdot g \cdot l_2 \cdot \cos(\theta_1 + \theta_2) \quad (5.11)$$

### 5.1.2.2 Lagrange Denklemi

Böylece Lagrange denklemi şu şekilde elde edilmiş olur ;

$$\begin{aligned} L &= 1/2 \cdot (m_1 + m_2) \cdot l_1^2 \cdot \dot{\theta}_1^2 + 1/2 \cdot m_2 \cdot l_2^2 \cdot (\dot{\theta}_1^2 + 2 \cdot \dot{\theta}_1 \cdot \dot{\theta}_2 + \dot{\theta}_2^2) + m_2 \cdot l_1 \cdot l_2 \cdot \cos(\theta_2) \cdot (\dot{\theta}_1^2 + \dot{\theta}_1 \cdot \dot{\theta}_2) \\ &\quad + (m_1 + m_2) \cdot g \cdot l_1 \cdot \cos(\theta_1) + m_2 \cdot g \cdot l_2 \cdot \cos(\theta_1 + \theta_2) \end{aligned} \quad (5.12)$$

### 5.1.2.3 Dinamik Eşitlikler

Dinamik eşitlikleri elde etmek için (5.2) denkleminde Lagrange L 'yi çekelim.

$$\frac{\partial L}{\partial \dot{\theta}_1} = (m_1 + m_2) l_1^2 \dot{\theta}_1 + m_2 l_2^2 \dot{\theta}_1 + m_2 l_2^2 \dot{\theta}_2 + 2 m_2 l_1 l_2 \cos(\theta_2) \dot{\theta}_1 + m_2 l_1 l_2 \cos(\theta_2) \dot{\theta}_2 \quad (5.13)$$

$$\begin{aligned} \frac{d}{dt} \frac{\partial L}{\partial \dot{\theta}_1} = & [(m_1 + m_2)l_1^2 + m_2l_2^2 + 2m_2l_1l_2 \cos(\theta_2)]\ddot{\theta}_1 + [m_2l_2^2 + m_2l_1l_2 \cos(\theta_2)]\ddot{\theta}_2 \\ & - 2m_2l_1l_2 \sin(\theta_2)\dot{\theta}_1\dot{\theta}_2 - m_2l_1l_2 \sin(\theta_2)\dot{\theta}_2^2 \end{aligned} \quad (5.14)$$

$$\frac{\partial L}{\partial \theta_1} = -(m_1 + m_2)gl_1 \sin(\theta_1) - m_2gl_2 \sin(\theta_1 + \theta_2) \quad (5.15)$$

Denklem (5.12) ve (5.13), denklem (5.2)'ye göre birleştirilirse 1 no lu uzvun torku bulunmuş olur.

$$\begin{aligned} T_1 = & [(m_1 + m_2)l_1^2 + m_2l_2^2 + 2m_2l_1l_2 \cos(\theta_2)]\ddot{\theta}_1 + [m_2l_2^2 + m_2l_1l_2 \cos(\theta_2)]\ddot{\theta}_2 \\ & - 2m_2l_1l_2 \sin(\theta_2)\dot{\theta}_1\dot{\theta}_2 - m_2l_1l_2 \sin(\theta_2)\dot{\theta}_2^2 + (m_1 + m_2)gl_1 \sin(\theta_1) + m_2gl_2 \sin(\theta_1 + \theta_2) \end{aligned} \quad (5.16)$$

2 no lu uzuvdaki torku bulmak için Lagrange ifadesinin  $\dot{\theta}_2$  ve  $\theta_2$ 'ye göre diferansiyeli aşağıdaki gibi alınır.

$$\frac{\partial L}{\partial \dot{\theta}_2} = m_2l_2^2\dot{\theta}_1 + m_2l_2^2\dot{\theta}_2 + m_2l_1l_2 \cos(\theta_2)\dot{\theta}_1 \quad (5.17)$$

$$\frac{d}{dt} \frac{\partial L}{\partial \dot{\theta}_2} = m_2l_2^2\ddot{\theta}_1 + m_2l_2^2\ddot{\theta}_2 + m_2l_1l_2 \cos(\theta_2)\ddot{\theta}_1 - m_2l_1l_2 \sin(\theta_2)\dot{\theta}_1\dot{\theta}_2 \quad (5.18)$$

$$\frac{\partial L}{\partial \theta_2} = -m_2gl_1l_2 \sin(\theta_2)\dot{\theta}_1\dot{\theta}_2 - m_2gl_2 \quad (5.19)$$

Böylece 2 no lu uzva gelen tork;

$$\begin{aligned} T_2 = & [m_2l_2^2 + m_2l_1l_2 \cos(\theta_2)]\ddot{\theta}_1 + m_2l_2^2\ddot{\theta}_2 - 2m_2l_1l_2 \sin(\theta_2)\dot{\theta}_1\dot{\theta}_2 \\ & - m_2l_1l_2 \sin(\theta_2)\dot{\theta}_1^2 + m_2gl_2 \sin(\theta_1 + \theta_2) \end{aligned} \quad (5.20)$$

Elde edilen tork değerlerini formulize ederek aşağıdaki şekilde yazarsak;

$$T_1 = D_{11}\ddot{\theta}_1 + D_{12}\ddot{\theta}_2 + D_{111}\dot{\theta}_1^2 + D_{122}\dot{\theta}_2^2 + D_{112}\dot{\theta}_1\dot{\theta}_2 + D_{121}\dot{\theta}_1\dot{\theta}_2 + D_1 \quad (5.21)$$

$$T_2 = D_{12}\ddot{\theta}_1 + D_{22}\ddot{\theta}_2 + D_{211}\dot{\theta}_1^2 + D_{222}\dot{\theta}_2^2 + D_{212}\dot{\theta}_1\dot{\theta}_2 + D_{221}\dot{\theta}_1\dot{\theta}_2 + D_2 \quad (5.22)$$

Yukarıda formulize ettiğimiz eşitlikleri inceleyecek olursak;

$D_{ii}$  formunun karşılığı,  $i$  uzvundaki efektif atalet olarak bilinir. Çünkü  $i$  uzvundaki ivme,  $i$  uzvunda  $D_{ii}\ddot{\theta}_i$  torkuna neden olur.

$D_{ij}$ ,  $i$  ve  $j$  noktaları arasındaki bağıl atalettir. Çünkü  $i$  veya  $j$  noktalarındaki ivme sırasıyla  $j$  veya  $i$ 'de torka neden olur. Buda sırasıyla  $D_{ij}\ddot{\theta}_i$  veya  $D_{ij}\ddot{\theta}_j$ 'ye eşittir.

j 'deki hızdan dolayı i 'de  $D_{ijk} \dot{\theta}_j^2$  terimi şeklinde merkezciik güç oluşur.

$D_{ijk} \dot{\theta}_j \dot{\theta}_k + D_{ikj} \dot{\theta}_k \dot{\theta}_j$  terimleri j ve k 'da ki hızlardan dolayı i 'de oluşan Coriolis gücü olarak bilinir.

Son olarak  $D_i$  şeklindeki terim ise yer çekimini temsil ede[4]. Denklemler karşılaştırılırsa aşağıdaki katsayılar bulunur.

Efektif atalet;

$$D_{11} = [(m_1 + m_2)l_1^2 + m_2l_2^2 + 2m_2l_1l_2 \cos(\theta_2)] \quad (5.23)$$

$$D_{22} = m_2l_2^2 \quad (5.24)$$

Bağıl atalet;

$$D_{12} = m_2l_2^2 + m_2l_1l_2 \cos(\theta_2) \quad (2.25)$$

Merkezcil ivme katsayıları;

$$D_{111} = 0 \quad (5.26)$$

$$D_{122} = -m_2l_1l_2 \sin(\theta_2) \quad (5.27)$$

$$D_{211} = -m_2l_1l_2 \sin(\theta_2) \quad (5.28)$$

$$D_{222} = 0 \quad (5.29)$$

Coriolis ivme katsayıları;

$$D_{112} = D_{121} = -m_2l_1l_2 \sin(\theta_2) \quad (5.30)$$

$$D_{212} = D_{221} = -m_2l_1l_2 \sin(\theta_2) \quad (5.31)$$

Ağırlık terimleri;

$$D_1 = (m_1 + m_2)gl_1 \sin(\theta_1) + m_2gl_2 \sin(\theta_1 + \theta_2) \quad (5.32)$$

$$D_2 = m_2gl_2 \sin(\theta_1 + \theta_2) \quad (5.33)$$

İki eklemlili robot kolu için yerçekiminin ihmal edildiği bir ortamda, 2 uzvunun sabit ( $\ddot{\theta}_2 = 0$ ) ve serbest ( $T_2 = 0$ ) olması durumu için denklem (5.21) ve (5.22) 'ye sayısal örnekler verelim.

İlk durumda (5.21) ve (5.22) denklemleri;

$$T_1 = D_{11} \ddot{\theta}_1 \quad (5.34)$$

$$T_2 = D_{12} \ddot{\theta}_1 \quad (5.35)$$

İkinci durumda  $T_2 = 0$  olduğundan (5.21) ve (5.22) denklemleri dikkate alınarak  $\ddot{\theta}_2$  denklemden çekilerek  $T_1$  bulunur.

$$T_2 = 0 = D_{12} \ddot{\theta}_1 + D_{22} \ddot{\theta}_2$$

Buradan

$$\ddot{\theta}_2 = -\frac{D_{12}}{D_{22}} \ddot{\theta}_1$$

olarak bulunur.  $\ddot{\theta}_2$ , (5.21) denkleminde yerine konulursa;

$$T_1 = [D_{11} - \frac{D_{12}^2}{D_{22}}] \ddot{\theta}_1 \quad (5.36)$$

denklemini elde edilmiş olur [4].

İki eklemli robot kolu için  $l_1 = 20$  cm,  $l_2 = 12$  cm ve  $m_1 = 1,75$  kg olarak seçelim.  $m_1$  değerine de robot kolunun yüksüz ve yüklü olması durumları için sırasıyla 0,25 kg ve 0,50 kg değerlerini verelim. Yerçekiminin ihmal edildiği bir ortamda sistemin yüksüz ve yüklü olması durumları için (5.34) ve (5.36) denklemleri ve katsayıları dikkate alınarak 1 no lu uzva gelen tork değerlerini hesaplayalım. Burada  $I_t$  ve  $I_f$  değerleri, robot kolunun sırasıyla sabit ve serbest durumları için 1 no lu uzva gelen tork değerlerini temsil etmektedir

$\theta_2$	$\cos\theta_2$	$D_{11}$ $\times 10^{-2}$	$D_{12}$ $\times 10^{-2}$	$D_{22}$ $\times 10^{-2}$	$I_t$ $\times 10^{-2}$	$I_f$ $\times 10^{-2}$
0	1	9,56	0,60	0,36	9,56	8,56
90	0	8,36	0,36	0,36	8,36	8,00
180	-1	7,16	0,24	0,36	7,16	7,00
270	0	8,36	0,36	0,36	8,36	8,00

**Tablo 5.1:** Robot kolunun farklı konumları için yüksüz haldeki atalet ve tork değerleri

$\theta_2$	$\cos\theta_2$	$D_{11}$ $\times 10^{-2}$	$D_{12}$ $\times 10^{-2}$	$D_{22}$ $\times 10^{-2}$	$I_t$ $\times 10^{-2}$	$I_f$ $\times 10^{-2}$
0	1	1,212	1,92	0,72	1,212	7,00
90	0	9,72	0,72	0,72	9,72	9,00
180	-1	7,32	0,48	0,72	7,32	2,48
270	0	9,72	0,72	0,72	9,72	9,00

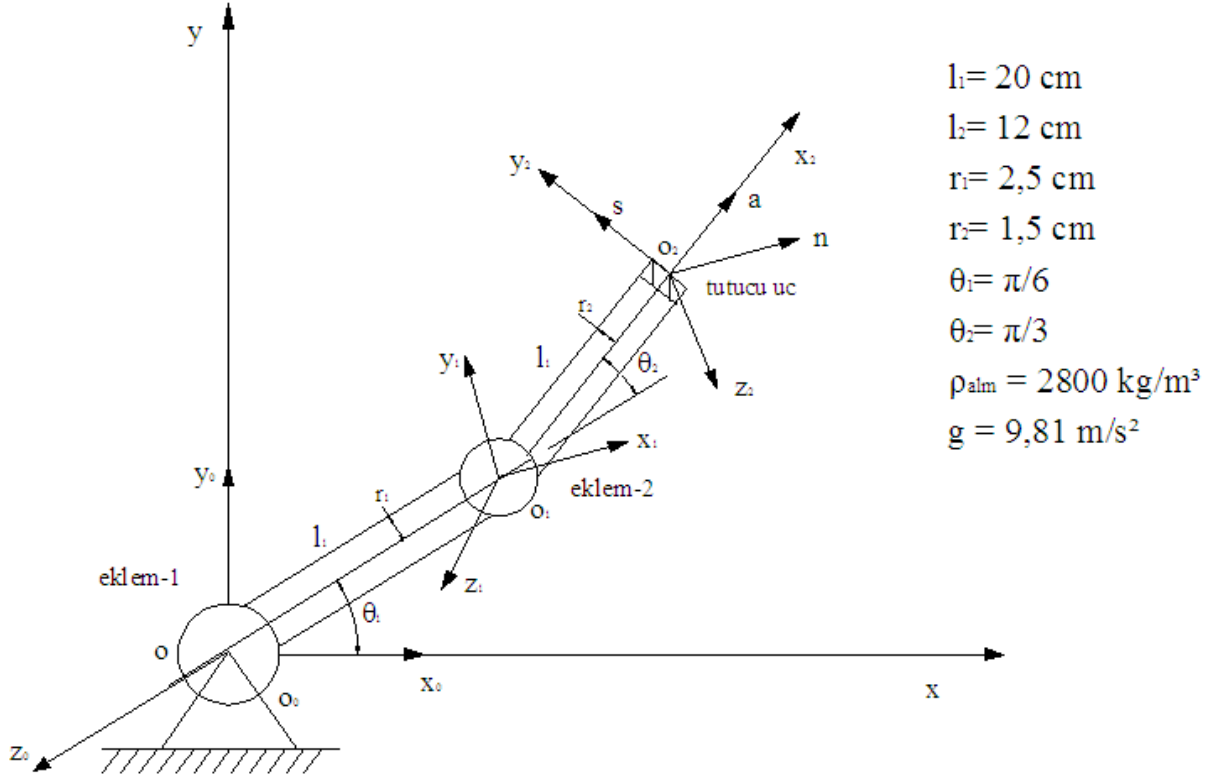
**Tablo 5.2:** Robot kolunun farklı konumları için yüklü haldeki atalet ve tork değerleri

Tablo 5.1 ve Tablo 5.2 karşılıklı incelendiğinde robot kolunun yüklü ve yüksüz olması durumların için ataletler ve uzuvlara gelen tork değerleri görülmektedir. Robot kolunun yüklü olması durumunda uzuv ataletlerini arttığı görülmektedir. Ancak robot kolunun farklı konumları için eklemlere gelen torklar farklılık göstermektedir. Örneğin  $\theta_2$  açısının  $90^\circ$  ve  $270^\circ$  değerleri için 2 no lu ekleme gelen tork değerleri artarken,  $0^\circ$  ve  $180^\circ$  değerleri için azalma görülmektedir. Aynı şekilde  $\theta_2$ 'nin  $180^\circ$  değeri için 1 no lu ekleme gelen tork azalırken  $0^\circ$ ,  $90^\circ$  ve  $270^\circ$  değerleri için artış görülmektedir.

Sonuç olarak söylenebilir ki; robot kolunun yüksüz veya yüklü olması durumlarında eklemlere gelen tork değerleri robot kolunun konumuyla bağlantılı olarak değişiklik göstermektedir. Ve robot kolunun eklemlerine gelen tork değerleri kolun tekil konumunda en fazla olmaktadır. Bu nedenle robot kolunun dinamik hareketi incelendiğinde kolun tekil konuma gelmeyecek şekilde tasarımının yapılması planlanır.



## 5.2. ROBOT KOLU SEÇİMİ



Şekil 5.2: İki Eklemlı Robot Kolu

Şekil 5.2 'deki iki eklemlı robot kolunun uzuvların kartezyen koordinatlardaki konumu ve uzunun gerçık ölçüleri görülmektedir. 1 ve 2 no lu eklemlere servo motorlar yerleştirilerek robot kolunun dinamik denklemleri elde edilecektir. Sistemin çalışmasına uygun motorlar kataloglardan seçilmiş ve teknik özellikleri ileride verilmiştir. Robot kolu için hesaplanmış olan değerler kullanılarak Matlab programı ile kinematik ve dinamik denklemlerin sonuçları elde edilecektir. Daha sonra ise Ansys programı kullanılarak 1 ve 2 no lu eklemlere gelen gerilme değerleri bulunacaktır.

Robot kolu için isotropik katı model ve 2017- Alüminyum alaşımı malzeme seçilmiştir.

Seçilen malzemenin özellikleri şu şekildedir;

Elastisite modülü  $E = 72.10^9 \text{ Pa}$

Poison oranı  $\nu = 0.29$

### 5.2.1 Motor Seçimi ve Robot Kolunun Özellikleri;

1 no lu ekleme uygulanacak motor ;

TAMAGAWA-SEİKİ DC Servo Motor TS3551 TRE Series 100 W E8 [12]

Teknik Özellikler;

Torque Constant  $K_T = 8,1 \cdot 10^{-2}$  Nm/ A

Rated Torque  $T_o = 0,319$  Nm

Friction Torque  $T_f = 2,5 \cdot 10^{-2}$  Nm

Maximum Torque  $T_{max} = 1,80$  Nm

Atalet Momenti  $J_M = 0,279 \cdot 10^{-2}$  kg.m<sup>2</sup>

Motor Ağırlığı  $w_{1motor} = 2$  kg

Motor Akımı =

$$I = (T_o + T_f) / K_T = (0,319 + 2,5 \cdot 10^{-2}) / 8,1 \cdot 10^{-2} = 4,24 \text{ A}$$

Dişli Oranı ;

$$Gr_1 = T_{max} / (K_T \cdot I) = 1,80 / (8,1 \cdot 10^{-2} \cdot 4,24) = 5,24$$

2 no lu ekleme uygulanacak motor;

TAMAGAWA-SEİKİ DC Servo Motor TS3252 TRE Series 60 W E6 [12]

Teknik Özellikler;

Torque Constant  $K_T = 5,7 \cdot 10^{-2}$  Nm/ A

Rated Torque  $T_o = 0,191$  Nm

Friction Torque  $T_f = 1,7 \cdot 10^{-2}$  Nm

Maximum Torque  $T_{max} = 1,10$  Nm

Atalet Momenti  $J_M = 0,157 \cdot 10^{-2}$  kg.m<sup>2</sup>

Motor Ağırlığı  $w_{2motor} = 0,74$  kg

Motor Akımı =

$$I = (T_o + T_f) / K_T = (0,191 + 1,7 \cdot 10^{-2}) / 5,7 \cdot 10^{-2} = 3,65 \text{ A}$$

Dişli Oranı ;

$$Gr_1 = T_{max} / (K_T \cdot I) = 1,10 / (5,7 \cdot 10^{-2} \cdot 3,65) = 5,28$$

Yer Vektörleri:

Şekil ' den 1 ve 2 nolu uzvun yer vektörleri şu şekilde tanımlanabilir.

$$r_{1x} = 0.10 \text{ m}, \quad r_{1y} = 0.025 \text{ m},$$

$$r_{2x} = 0.06 \text{ m}, \quad r_{2y} = 0.015 \text{ m},$$

Uzuvların Hacimleri:

$$V_1 = \pi.r_1^2.l_1 = \pi.(0,025)^2.0,20 = 3,927.10^{-4} \text{ m}^3$$

$$V_2 = \pi.r_2^2.l_2 = \pi.(0,015)^2.0,12 = 0,848.10^{-4} \text{ m}^3$$

Uzuvların Ağırlıkları:

$$w_1 = V_1.\rho_{alm} = 3,927.10^{-4}.2800 = 1,01 \text{ kg}$$

$$w_2 = V_2.\rho_{alm} = 0,848.10^{-4}.2800 = 0,237 \text{ kg}$$

Uzuvların Kütleleri:

$$m_1 = w_1 / g = 1.01 / 9,81 = 0,112 \text{ kg.s}^2 / \text{m}$$

$$m_2 = w_2 / g = 0.237 / 9,81 = 0,024 \text{ kg.s}^2 / \text{m}$$

Uzuvların Ataetleri:

1 nolu uzuv için;

$$W_1 = w_1 + w_{1motor} = 1,01 + 0,80 = 1,81 \text{ kg}$$

$$I_{xx} = \frac{1}{2}. W_1. r_1^2 = \frac{1}{2}.1,81.(0,025)^2 = 0,056 \text{ kgm}^2$$

$$I_{yy} = \frac{1}{2}. W_1. (3r_1^2 + l_1^2) = \frac{1}{2}.0,50.(3.(0,025)^2 + (0,20)^2) = 0,034 \text{ kgm}^2$$

2 nolu uzuv için;

$$W_2 = w_2 + w_{2yük} = 0,237 + 0,263 = 0,50 \text{ kg}$$

(Taşınmak istenen yük ağırlığı maksimum 0.263 kg olarak belirlenmiştir.)

$$I_{xx} = \frac{1}{2}. W_2. r_2^2 = \frac{1}{2}.0,50.(0,015)^2 = 0.56. 10^{-4} \text{ kgm}^2$$

$$I_{yy} = \frac{1}{2}. W_2. (3r_2^2 + l_2^2) = \frac{1}{2}.0.50.(3.(0.015)^2 + (0.12)^2) = 0.628.10^{-3} \text{ kgm}^2$$

### 5.2.2 Motor Sürtünme Değerleri:

Coulomb sürtünme değeri(B);

Coulomb sürtünmenin x-yönündeki değeri, motor friction tork( $T_f$ ) değerinin %20 fazlası olarak alınır. y-yönündeki değeri ise bu değer %8 eksik değeridir ve negatif yönde seçilir [10].

1 no lu motor için;

$$T_{cx1} = T_f \times 1.2 = 2,5 \cdot 10^{-2} = 0.03 \text{ Nm}$$

$$T_{cy} = -T_{cx1} \times 0.92 = 0.03 \cdot 0.92 = -0.0275 \text{ Nm}$$

2 no lu motor için;

$$T_{cx2} = T_f \times 1.2 = 1,7 \cdot 10^{-2} = 0.0204 \text{ Nm}$$

$$T_{cy} = -T_{cx2} \times 0.92 = 0.0204 \cdot 0.92 = -0.0187 \text{ Nm}$$

Viscous sürtünme değeri(B);

Viscous sürtünme değeri, coulomb sürtünme değerinin %55 kadarı olarak alınır [11].

1 no lu motor için;

$$B = T_{cx1} \times 0.55 = 0,03 \times 0,55 = 0,0165 \text{ Nm}$$

2 no lu motor için;

$$B = T_{cx2} \times 0.55 = 0,0204 \cdot 0,55 = 0,01122 \text{ Nm}$$

## 5.3 ROBOT KOLUNUN MATLAB İLE ÇÖZÜMLEMESİ

### 5.3.1 Matlaba Giriş

Şekil 6.1 'de verilen iki eklemlili robot kolu için Matlab programı ile çözüm yapmabilmek amacıyla gerekli olan değerler bölüm 5.2 'de hesaplanmıştır. Robot kolunun Matlab programı için yazılan planar isimli program EK1 'de verilmiştir. Sisteme tanıtılan robot kolu için matlab içerisinde alt programlar oluşturularak sistemin düz kinematik, ters kinematik, homojen dönüşüm, jakobiyen matris, animasyon, düz dinamik ve ters dinamik analizleri yapılmıştır.

### 5.3.2 Transformasyonlar

L =

[1x1 link] [1x1 link]

qz =

0 0

qr =

0 1.0472

qstretch =

0 1.5708

planar =

planar (2 eklemlili, RR) [Unimation] <params of 8/95>

grav = [0.00 0.00 9.81]

standard D&H parameters

alpha	A	theta	D	R/P0.000000	0.200000
0.523599	0.000000	R0.000000	0.120000	1.047198	0.000000

Translasyon matrisi

transl(0.5, 0.0, 0.0)

ans =

1.0000	0	0	0.5000
0	1.0000	0	0
0	0	1.0000	0
0	0	0	1.0000

Y ekseninde 90 derece dönme;

roty(pi/2)

ans =

```
0.0000    0  1.0000    0
    0    1.0000    0    0
-1.0000    0  0.0000    0
    0     0    0    1.0000
```

ve Z ekseninde -90derece dönme

rotz(-pi/2)

ans =

```
0.0000  1.0000    0    0
-1.0000  0.0000    0    0
    0     0    1.0000    0
    0     0     0    1.0000
```

bunların çarpımı hesaplanabilir

t = transl(0.5, 0.0, 0.0) \* roty(pi/2) \* rotz(-pi/2)

t =

```
0.0000  0.0000  1.0000  0.5000
-1.0000  0.0000    0     0
-0.0000 -1.0000  0.0000    0
    0     0     0    1.0000
```

Bu transformasyonlar yeni bir koordinatı temsil ederler.

Ana orjin (0, 0, 0) 'a göre yeni bir koordinat tanımlanır.

t \* [0 0 0 1]'

ans =

```
0.5000
    0
    0
1.0000
```

Euler açıları

tr2eul(t)

ans =

0 1.5708 -1.5708

veya roll/pitch/yaw acilari

tr2rpy(t)

ans =

-1.5708 0.0000 -1.5708

rotx(pi/2) \* rotz(-pi/8) çarpımı aşağıdaki şekilde olur.

ans =

0.9239 0.3827 0 0  
-0.0000 0.0000 -1.0000 0  
-0.3827 0.9239 0.0000 0  
0 0 0 1.0000

rotz(-pi/8) \* rotx(pi/2)

ans =

0.9239 0.0000 -0.3827 0  
-0.3827 0.0000 -0.9239 0  
0 1.0000 0.0000 0  
0 0 0 1.0000

### 5.3.3 Yörüngeler

Robot kolunun uygun açı ve hızda ilerleme zamanı;

Zaman, birinci ve ikinci uzvun hareketine uyumlu olarak tamamlanır.

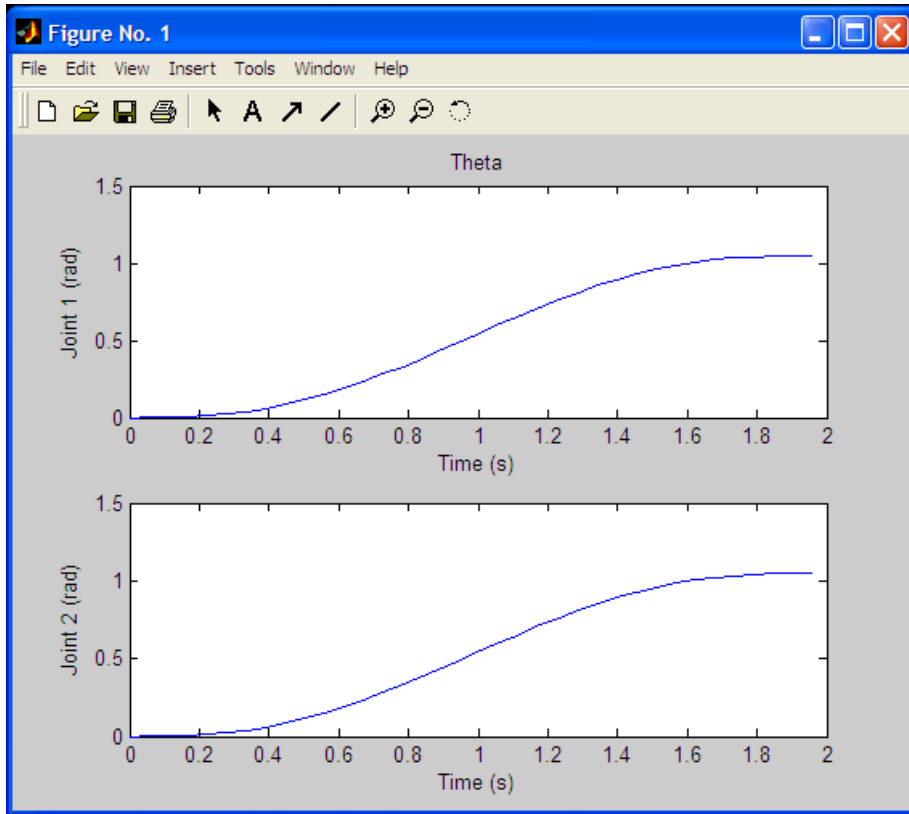
t = [0:.056:2];

her iki farklı hareket arasında uygun konumların tanımlanması,

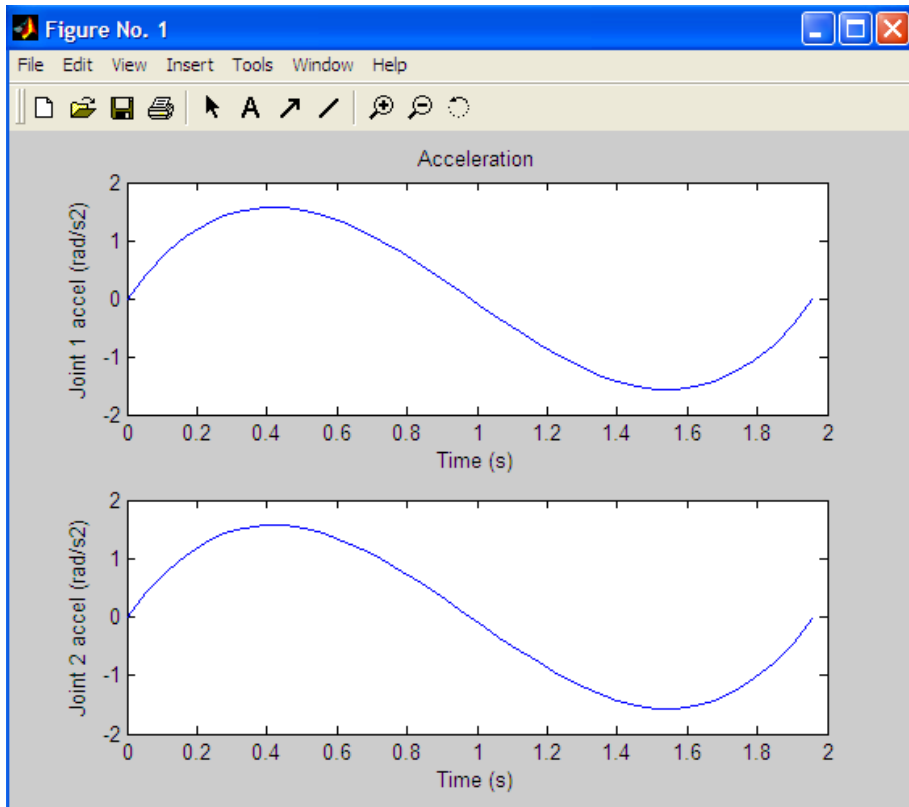
q = jtraj(qz, qr, t);

2. ve 3. nokta robot kolunun 1. ve 2.eklemlerine karşılık gelmektedir.

Her iki uzvun başlangıç noktası konum-zaman grafikleri şu şekildedir;



Şekil 5.3: 1 ve 2 no lu Uzuvların Açısal Konumlarının Zamana Bağlı Değişimi



Şekil 5.4: 1 ve 2 no lu Uzuvların Açısal İvme Değişimleri



### 5.3.4 Animasyon

Yapılacak animasyon için yörünge ve zaman denklemlerini yeniden yazarsak;

```
t = [0:.056:2]';      , zaman vektörü  
q = jtraj(qz, qr, t); , yörünge koordinatları
```

Robot resminin oluşturulması;

```
plot(planar, q);
```

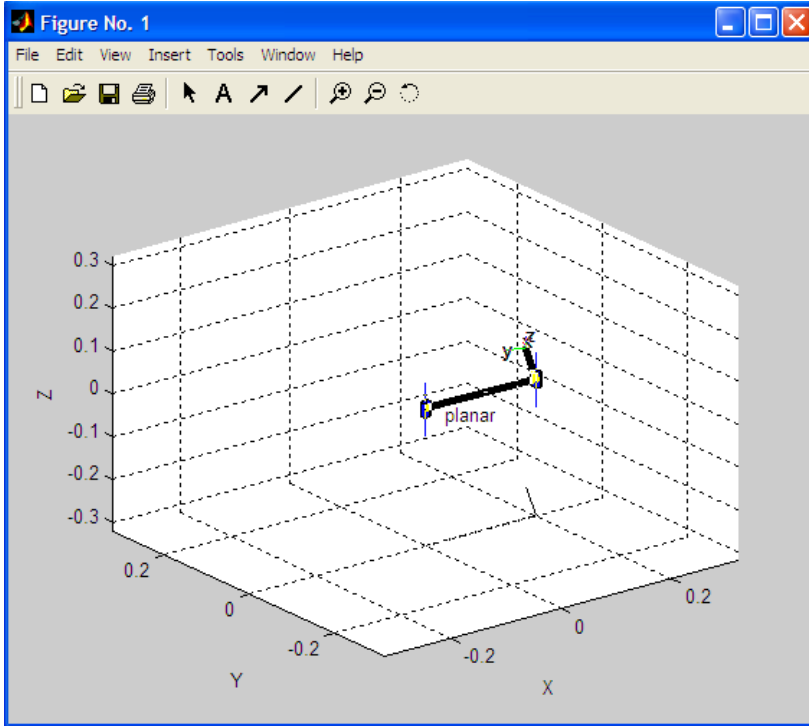
İki eklemlili robot kolu hareketi belirli zaman ve periyotlar için tanımlanır. Robotun yer değişikliği aşağıdaki şekilde tanımlanmıştır.

```
planar_2 = planar;  
planar_2.name = 'another Planar';  
planar_2.base = transl(-0.5, 0.5, 0);  
hold on  
plot(planar_2, q);
```

Robot kolu için oluşturulan planar dosyası sisteme yeniden tanımlanmıştır.

```
clf  
plot(planar, qr);  
figure  
plot(planar, qr);  
view(40,50)  
plot(planar, q)  
drivebot(planar)  
scale =  
    1  
    1
```

Verilen ölçülerdeki robot kolu için 3 boyutlu gösterim aşağıdaki şekildedir.



Şekil 5.5: İki Eklemlili Planar Robot Kolu 3 Boyutlu Gösterimi

### 5.3.5 İleri Kinematik

L =

[1x1 link] [1x1 link]

qz =

0 0

qr =

0 1.0472

qstretch =

0 1.5708

planar =

planar (2 eklemli, RR) [Unimation] <params of 8/95>

grav = [0.00 0.00 9.81]

standard D&H parameters

alpha	A	theta	D	R/P0.000000	0.200000	
0.523599	0.000000	R0.000000	0.120000	1.047198	0.000000	R

İleri kinematik problemlerin çözümünde kartezyen pozisyonun ve mekanizmanın konumunun, eklem konumları ve kinematik durumlara göre bilinmesi gerekir.

Planar örneği tekrar düşünülürse, ve sıfır eklem koordinatları;

qz aşağıdaki gibidir;

qz

qz =

0 0

Kinematik tanımlama;

fkine(planar, qz)

ans =

1.0000	0	0	0.3200
0	1.0000	0	0
0	0	1.0000	0
0	0	0	1.0000

Robot kolunun sonraki uzvunun homojen transformasyon haline geri dönülür.

Genel bir zaman vektörü;

```
t = [0:.056:2];
```

eklem koordinatları zamana göre birleştirilirse

```
q = jtraj(qz, qr, t);
```

eklem koordinatları için homojen transformlar verilirse;

```
T = fkine(planar, q);
```

örneğin, birinci eklem;

```
T(:,:,1)
```

```
ans =
```

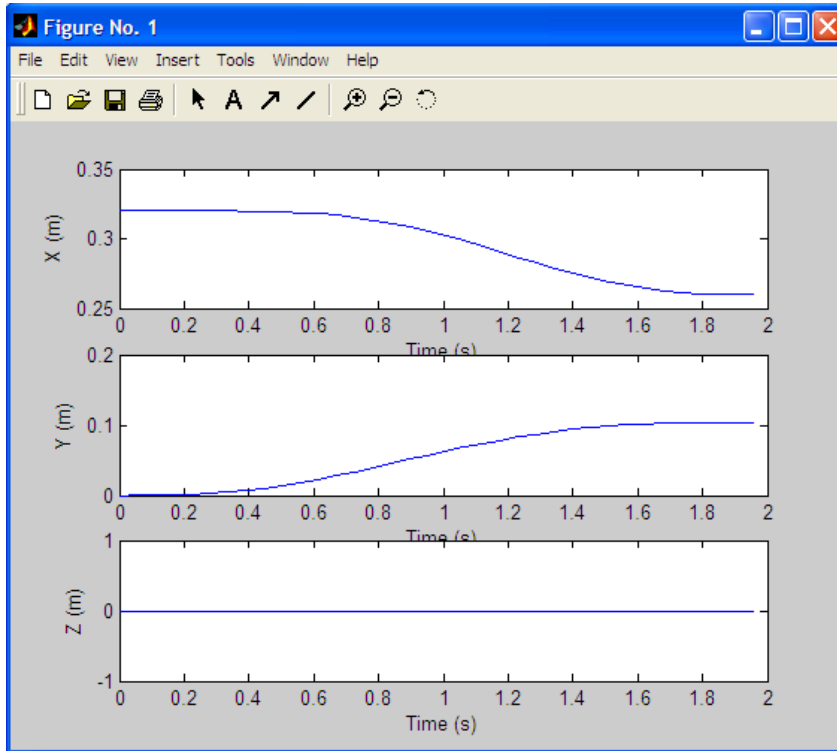
```
1.0000    0    0    0.3200
    0    1.0000    0    0
    0    0    1.0000    0
    0    0    0    1.0000
```

ve onuncu noktada

```
T(:,:,10)
```

```
ans =
```

```
0.9932 -0.1162    0    0.3192
0.1162  0.9932    0    0.0139
    0    0    1.0000    0
    0    0    0    1.0000
```



Şekil 5.6: Son İşlemcinin (end-effector) Açısız Konum Değişimi

### 5.3.6 Ters Kinematik

Burada eklemlerin bulunduğu yer istenilen son koordinat için gösterilir.

```
plot(planar, q)
```

Ters kinematik analizde, robot kolunun sonraki uzvunun homojen transformasyon denklemleri verildiğinde, robot kolunun eklemlerinin koordinatları belirlenir.

İşlemcinin bulunduğu noktanın koordinatına göre ilk eklemin koordinatı belirlenir.

```
q = [0 pi/6]
```

```
q =
```

```
0 0.5236
```

```
T = fkine(planar, q);
```

```
qi = ikine(planar, T);
```

robot kolu için basit matrisler gösterildi.

```
qi'
```

```
ans =
```

```
0.0000
```

```
0.5236
```

Orijinal kuvvet ile karşılaştırıldığında;

```
q
```

```
q =
```

```
0 0.5236
```

```
T = fkine(planar, qr);
```

```
qi = ikine(planar, T);
```

```
qi'
```

```
ans =
```

```
-0.0000
```

```
1.0472
```

```
qr
```

```
qr =
```

```
0 1.0472
```

```
1
```

Bununla birlikte her iki durum da aynı son-efekt sonucunu verir.

```
fkine(planar, qi) - fkine(planar, qr)
```

ans =

1.0e-016 \*

```
0    0    0    0
0    0    0 -0.1388
0    0    0    0
0    0    0    0
```

Ters kinematikler trajectory için hesaplanmış olmalıdır.

Kartezyen yönde bir çizgi izlersek;

t = [0:.056:2]; , zaman vektörü yaratma

T1 = transl(0.01, -0.2, 0) , başlangıç noktası bulma

T1 =

```
1.0000    0    0    0.0100
0    1.0000    0 -0.2000
0    0    1.0000    0
0    0    0    1.0000
```

T2 = transl(0.02, -0.2, 0) , ve izlenecek yol

T2 =

```
1.0000    0    0    0.0200
0    1.0000    0 -0.2000
0    0    1.0000    0
0    0    0    1.0000
```

T = ctraj(T1, T2, t/2); , kartezyen yol bulunması

tic

q = ikine(planar, T);

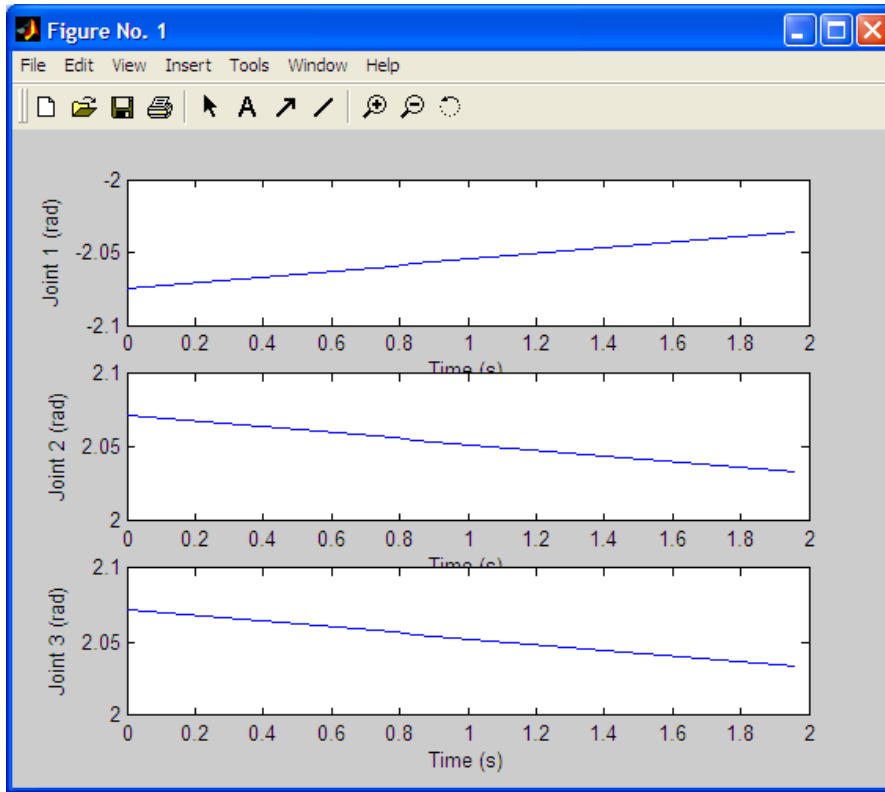
toc

elapsed\_time =

1.0460

Bu noktanın animasyonu böylece tanımlanmış oldu.

plot(planar, q)



Şekil 5.7: Belirlenen Eksen Takımlarının Zamana Bağlı Konum Değişimi

### 5.3.7 Jakobiyenler

Jakobiyenler ve hareket denklemleri;

İki uzuvlu düzlemsel manipulator vektör elemanları,

$$[dx \ dy \ dz \ drx \ dry \ drz]$$

şeklinde dir. Ve hareketin diferansiyel denklemlerini oluşturursak;

$$\text{transl}(dx,dy,dz) * \text{rotx}(drx) * \text{roty}(dry) * \text{rotz}(drz)$$

verilen jakobiyen matris denklemlerinden şu sonuçlar alınabilir;

$$D = [.1 \ .2 \ 0 \ -.2 \ .1 \ .1]';$$

$$\text{diff2tr}(D)$$

ans =

$$\begin{bmatrix} 0 & -0.1000 & 0.1000 & 0.1000 \\ 0.1000 & 0 & 0.2000 & 0.2000 \\ -0.1000 & -0.2000 & 0 & 0 \\ 0 & 0 & 0 & 0 \end{bmatrix}$$

Bilinen denklemler kullanılarak D-H parametleri yardımıyla dönüşüm denklemlerinin sonuçları elde edilir.

```

T = transl(100, 200, 300) * roty(pi/8) * rotz(-pi/4);
DT = tr2jac(T) * D;
DT'
ans =
-29.5109  69.7669 -42.3289 -0.2284 -0.0870  0.0159

```

İki eklemlı robot kolu için elde edilen homojen dönüşüm matrisi kare matris olmadığı için determinantı alınamaz. Bu nedenle elde ettiğimiz 6x2 boyutundaki matrisin 2x2 boyutundaki ilk kısımları kullanılarak determinant hesaplanır.

Robot kolunun hareketin için diferansiyel denklem matrisleri kartezyen koordinatlar için elde edilmiştir.

$$dX = J(q) dQ$$

iki eklemlı robot kolu için planar adıyla yazılan program verilerine göre elde edilen sonuçlar şu şekildedir.

```

q = [0.1 0.75]
q =
0.1000  0.7500

```

```

J = jacob0(planar, q)
J =
-0.1101 -0.0902
0.2782  0.0792
0        0
0        0
0        0
1.0000  1.0000

```

```

J = jacobn(planar, q)
J =
0.1363 -0.0000
0.2663  0.1200
0        0
0        0
0        0
1.0000  1.0000

```

Verilen değerler yeniden girilecek olursa;

$J = [-0.1101 \quad -0.0902; 0.2782 \quad 0.0792]$

J =

-0.1101 -0.0902

0.2782 0.0792

det(J)

ans =

0.0164

$J_i = \text{inv}(J)$

$J_i =$

4.8370 5.5088

-16.9906 -6.7242

Hareketin klasik kontrolü yapılırsa;

$$dQ/dt = J(q)^{-1} dX/dt$$

vel = [1 0]'; x yönündeki yörünge hareketi

qvel =  $J_i * \text{vel}$ ;

qvel'

ans =

4.8370 -16.9906

d0X yazılırsa;

$$d2X = \text{Jac}(T2) d0X$$

$T2 = \text{fkine}(\text{planar}, q)$ ; son nokta dönüşümü elde edilmiş olur.

$d6X = \text{tr2jac}(T2) * [1 \ 0 \ 0 \ 0 \ 0 \ 0]'$ ; iki serbestlik dereceli manipulator.

$d6X = [0.6600; -0.7513]$

d6X =

0.6600

-0.7513

qvel =  $J_i * d6X$ ;

qvel'

ans =

-0.9463 -6.1619



Planar isimli program bu aşamada yeniden çağırılırsa;

```
rank( jacobn(planar, qr) )
```

```
ans =
```

```
2
```

```
svd( jacobn(planar, qr) )
```

```
ans =
```

```
1.4399
```

```
0.1396
```

İki eklemlı robot kolunun diferansiyel denklem çözümleri Matlab programı kullanılarak yukarıda verildiđi şekliyle elde edilmiştir.

## 5.4 ROBOT KOLUNUN ANSYS İLE ÇÖZÜMÜ

### 5.4.1 Katı Modelin ANSYS Programı ile Oluşturulması

#### 5.4.1.1 Eleman Tipi Seçimi

Main Menu: Preprocessor–ElementType–Add/Edit/Delete–Add/Solid/Tet10 node92

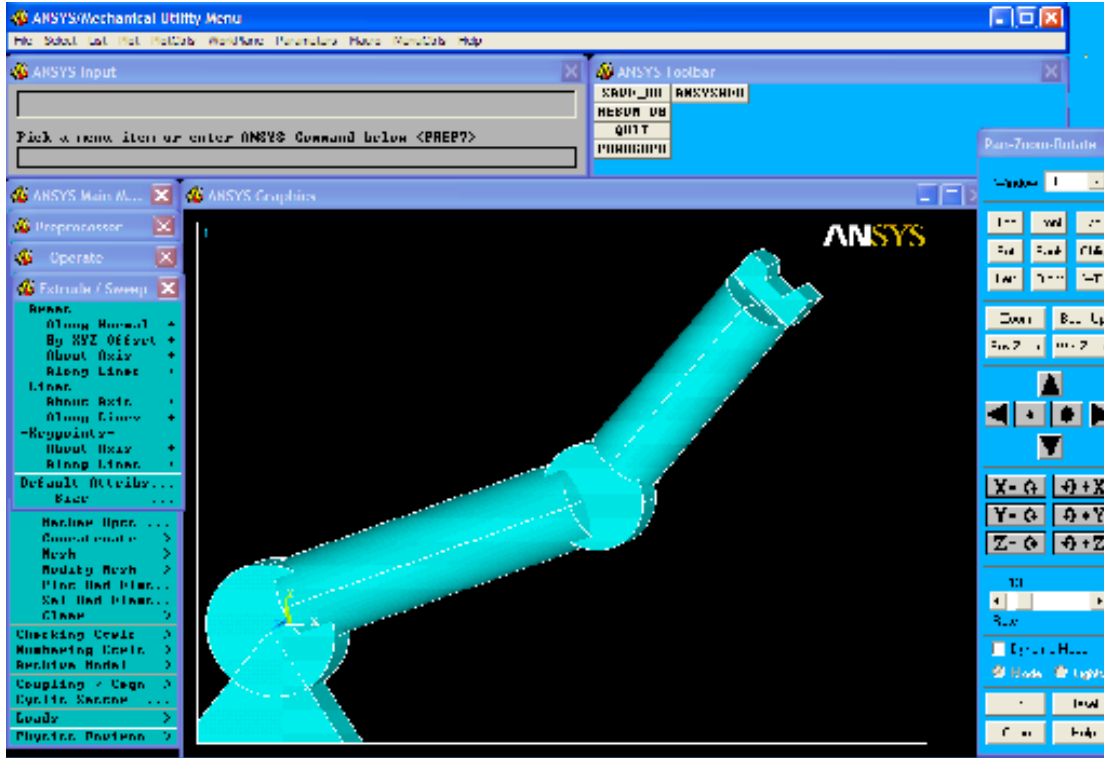
#### 5.4.1.2 Malzeme Özelliğinin Girilmesi

Main Menu: Preprocessor – Material Props – Constant – Isotropic –  $E=72.10^9$ ,  $\nu = 0.29$

#### 5.4.1.3 Katı Modelin Oluşturulması

Main Menu: Preprocessor – create – volume – x, y, z, r değerlerinin girilmesi

Katı modellemede; oluşturulacak katının sistemdeki koordinatları belirlenip sisteme girilmesiyle modelin son hali ortaya çıkmış olacaktır. Katı model oluşturulurken silindirik eksen takımının seçilmesine dikkat edilmelidir.

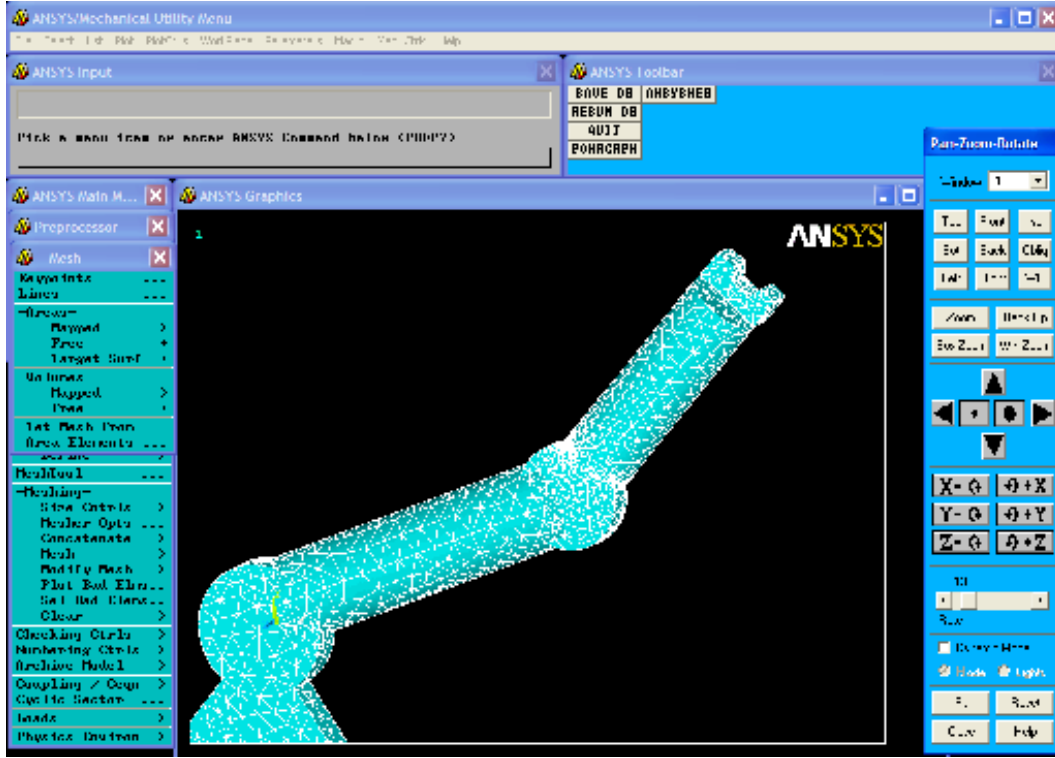


Şekil 5.8: Robot Kolunun ANSYS Katı Modeli

#### 5.4.1.4 Katı Modeli Elemanlarına Ayırma

Main Menu: Preprocessor – Mesh Tool – Mesh

Katı model seçilerek elemanlarına ayırma işlemi tamamlanmış olur.



Şekil 5.9: Katı Modelin Elemanlarına Ayrılmış Hali (Mesh)

#### 5.4.1.5 Sınır Şartlarının Verilmesi

Main Menu: Solution – Loads – Structural – Displacement - On Nodes

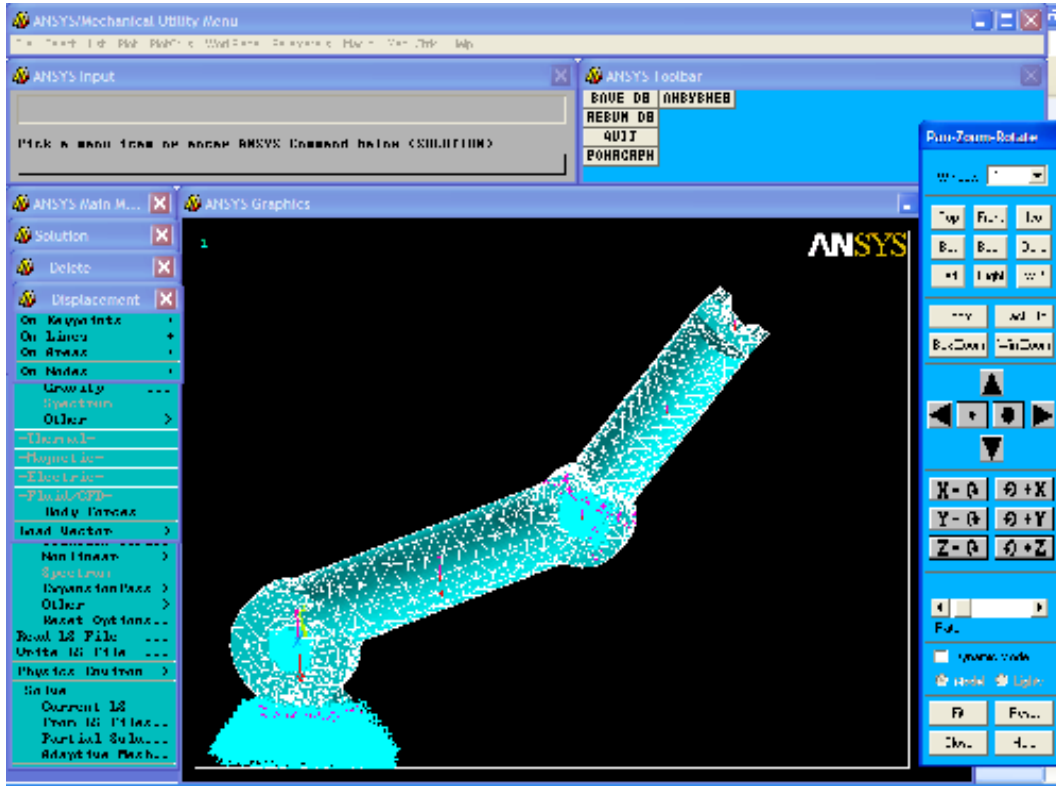
Hareketsiz uzuv taban alanı ankastre edilerek modelin sistem içerisinde sabitlenmesi sağlanmış olacaktır. Ayrıca Robot kolunun her iki eklemi için ayrıca sınır şartı verilerek çözümlene yapılmıştır.

#### 5.4.1.6 Kuvvetlerin Girilmesi

Main Menu: Solution – Loads – Structural – Force/moments - On Nodes

Uzuv-1, Uzuv-2 ağırlıkları  $G_1 = 1010$  gr ve  $G_2 = 237$  gr olarak, motor ağırlıkları  $w_{1motor} = 2000$  gr ve  $w_{2motor} = 740$  gr olarak ağırlık merkezlerindeki node'lara girilerek eklem noktaları kuvvete maruz kalacaktır. Ayrıca taşınacak yük için  $w_{2yük} = 263$  gr

ağırlık son işlemci üzerine yerleştirilmiştir. Modelin sistemdeki son hali Şekil 6.3 'de gösterilmiştir.



Şekil 5.10: Robot Kolunun Sınır Şartları ve Kuvvet Altındaki Görünüşü

#### 5.4.1.7 Modelin ANSYS İle Çözümü

Main Menu: Solution – Current LS

Bu çözümleme ile birlikte dinamik modelin statik haldeki ve eksenel kuvvet altındaki davranışı incelenmiştir. Robot kolunun eklemlerine gelen kuvvetler ve gerilme analizleri ANSYS Programı ile çözümlenmiştir.

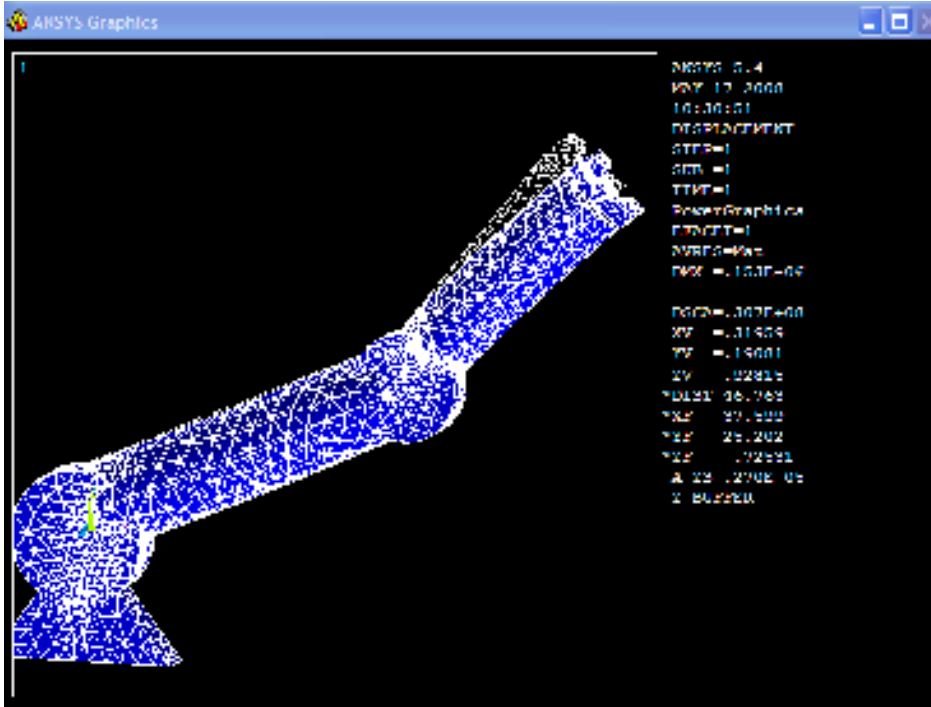
#### 5.4.1.8 Sonuçların Alınması

Main Menu: General Post – Plot Result – Contour Plot

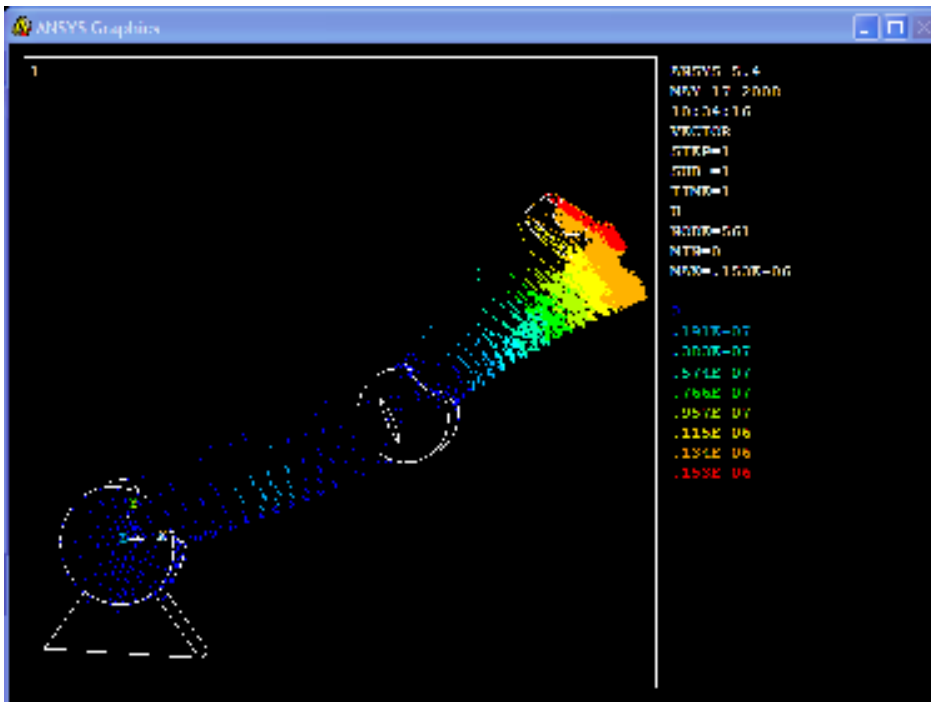
ANSYS çözümlemesi ile Robot kolunun değişik pozisyonlarındaki kuvvet ve gerilme analizleri grafiksel olarak gösterilmektedir. Model içerisinde belirlenen bir node, alan veya hacmin gerilme ve kuvvet analizleri görülebilmektedir.

## 5.4.2 Katı Modelin (Manipulatorun) ANSYS Çözümleme Sonuçları

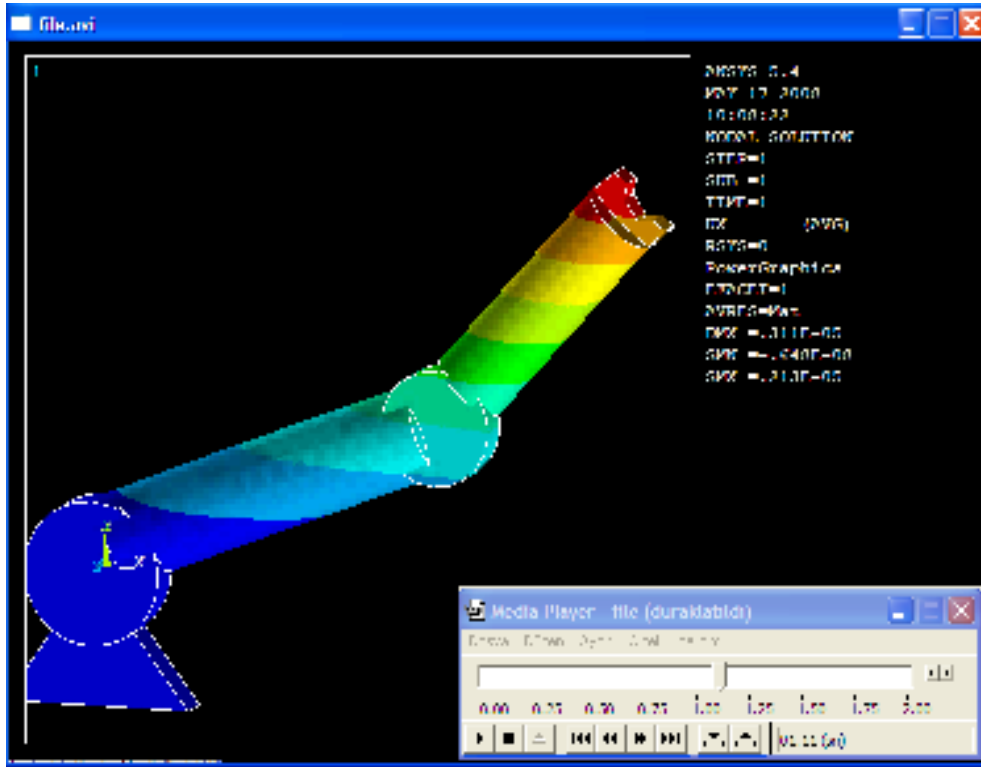
Eklemlere gelen kuvvetler, gerilme analizleri, kolun görsel hareketi Ansys programı ile belirlenmiş ve elde edilen sonuçlar aşağıda verilmiştir.



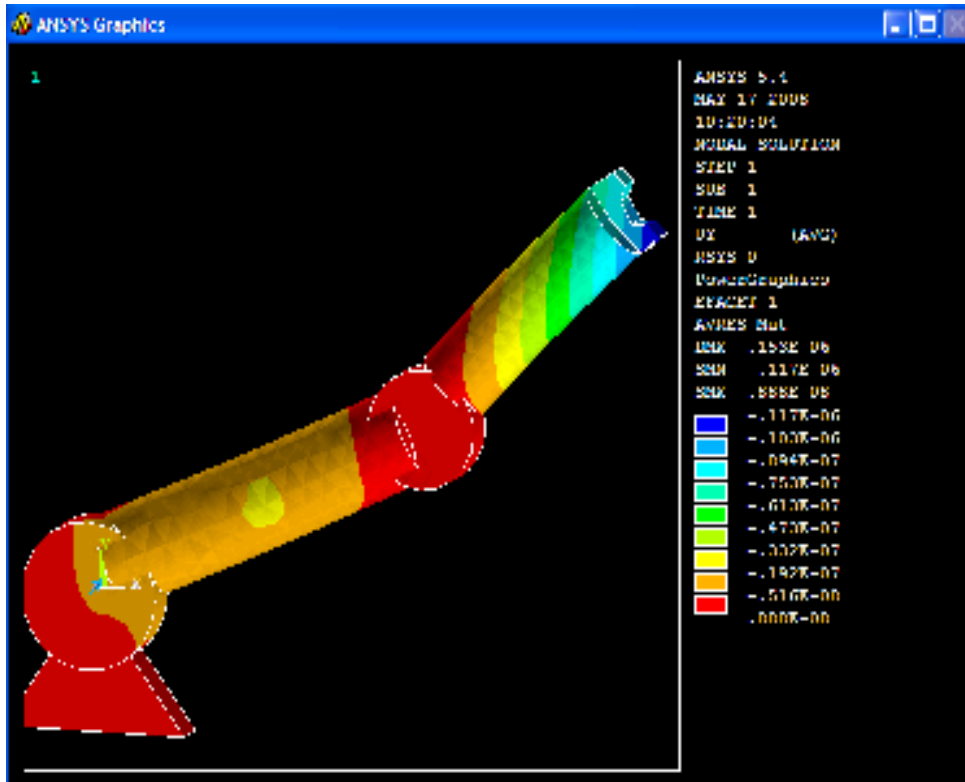
Şekil 5.11: Robot Kolunun Eksenel Yük Altındaki Davranışı



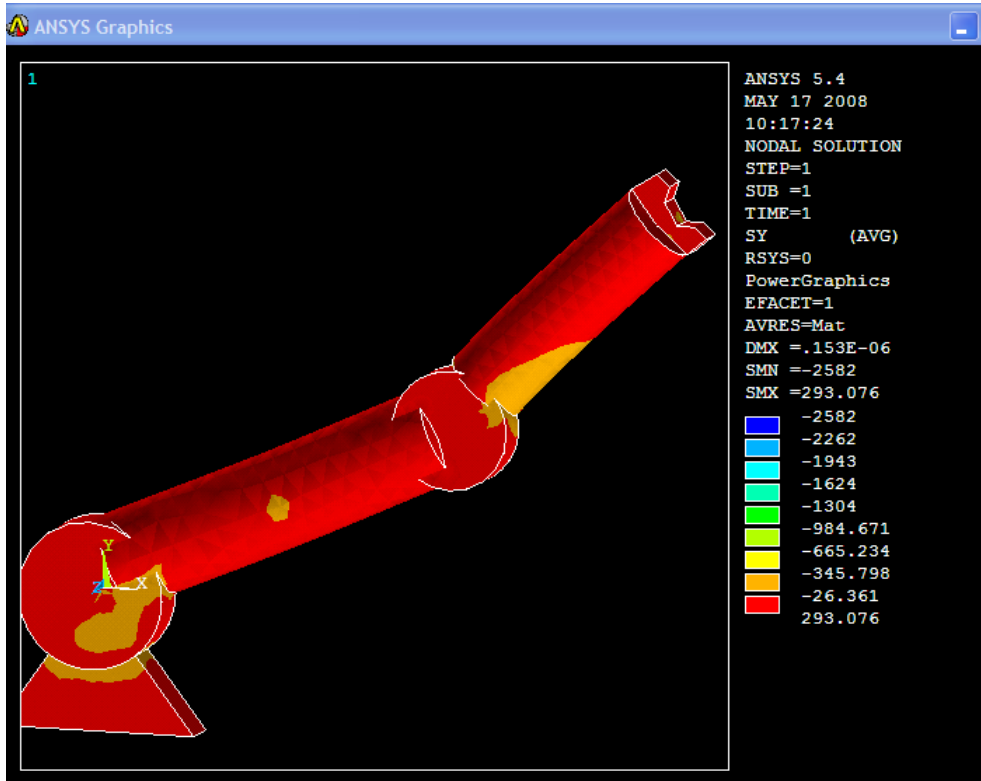
Şekil 5.12: Robot Kolu Üzerine Gelen Kuvvetler



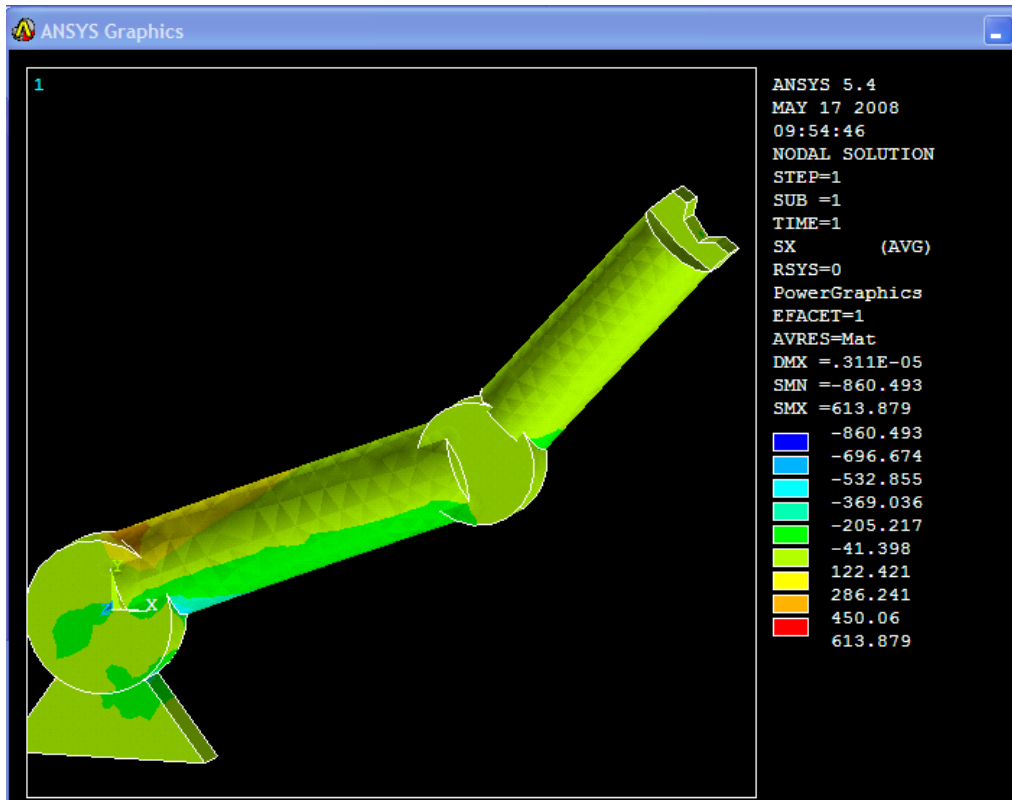
Şekil 5.13: Robot Kolu Hareketi Animasyon Görünümü



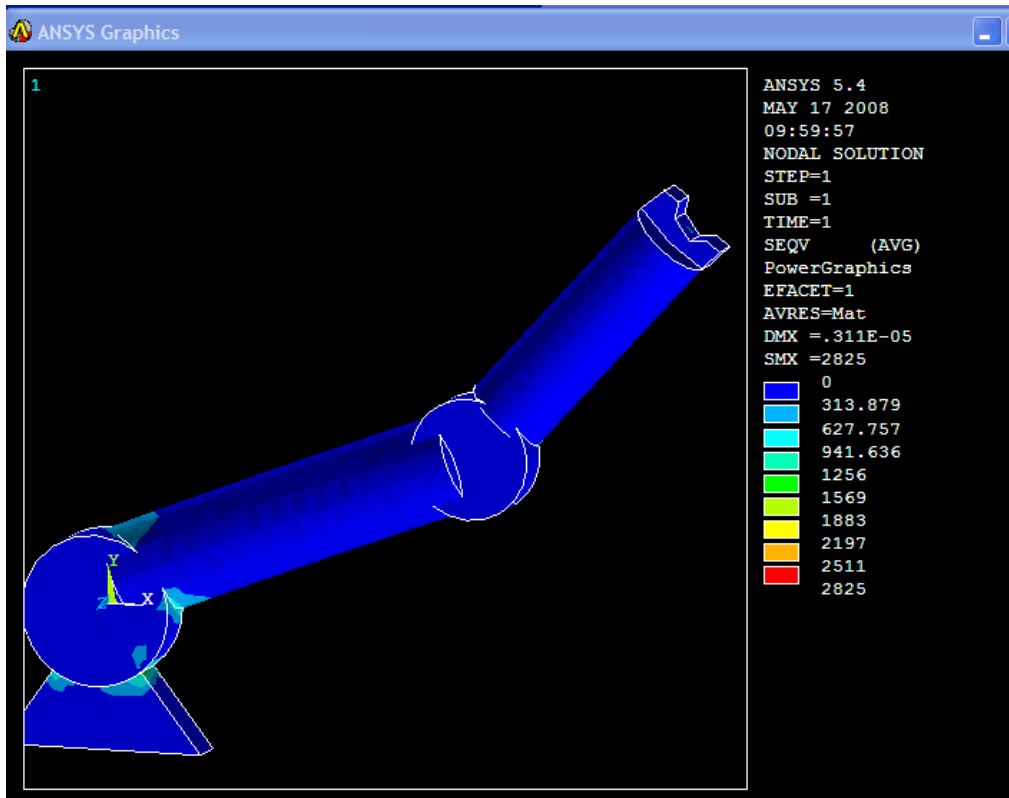
Şekil 5.14: Robot Kolu Düşey Yöndeki Toplam gerilmeler



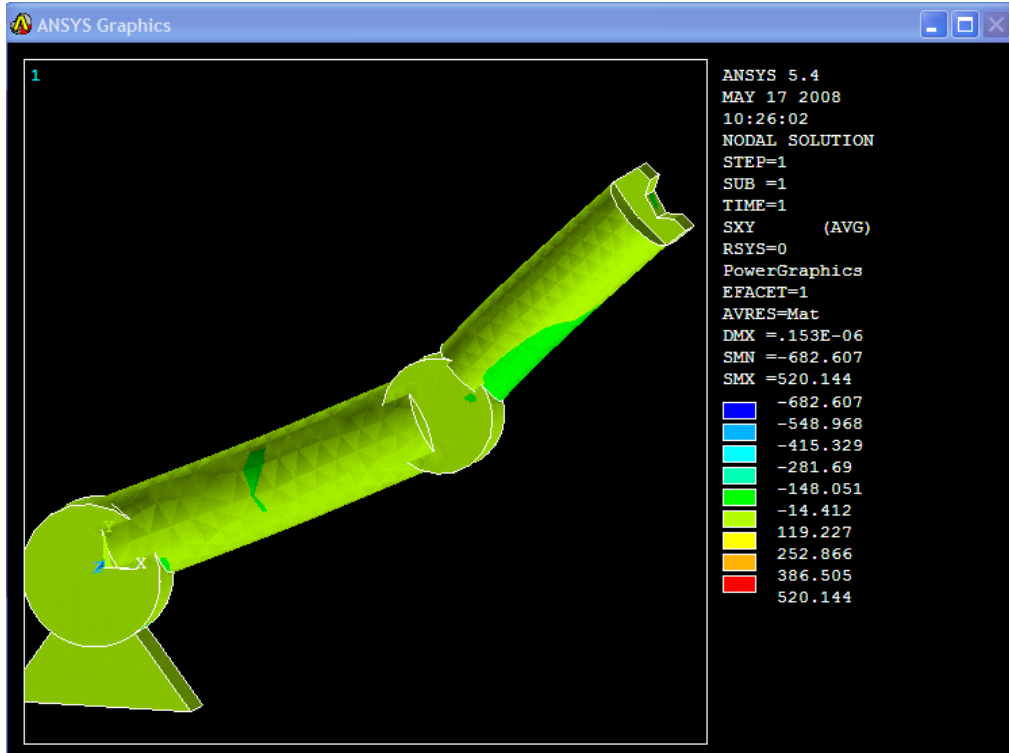
Şekil 5.15: Robot Kolu Eklemlerine Gelen Normal Gerilmeler



Şekil 5.16: Robot Kolu Eklemlerine Gelen Normal gerilmeler



Şekil 5.17: Robot Kolu 1 no lu Ekleme Gelen Normal Gerilmeler



Şekil 5.18: Robot Kolu 2 no lu Ekleme Gelen Normal Gerilmeler



## 6. SONUÇLAR VE ÖNERİLER

İki serbestlik dereceli planar robot kolunun Denavit-Hartenberg yöntemiyle ileri ve ters kinematik analizleri, Lagrange ve Newton-Euler denklemleri kullanılarak da dinamik analizleri gerçekleştirilmiştir. Matematiksel olarak yapılan bu analizler daha sonra Matlab programı kullanılarak, ölçüleri ve teknik özellikleri belirlenen iki eklemlili bir robot kolu için çözümlenmiştir. Tasarlanan robot kolu bilgileri Matlab programında planar adlı bir dosya oluşturularak yazılmıştır. Program EK1 'de verilmiştir. Analizi yapılan manipulator için ANSYS programı kullanılarak, robot kolu üzerine ve mafsallara gelen kuvvetler incelenmiştir. Robot kolunun bulunduğu pozisyona göre uygulanması gereken kuvvet ya da momentin, robot kolu üzerinde oluşturabileceği hasar ve eklemlerin zorlanma durumları gösterilmiştir. Hesapları yapılan planar robot kolunun Matlab ve Ansys programlarında animasyonları oluşturulmuştur.

Robotik sistemlerin esasını oluşturan robot kolunun adaptif kontrolü önem taşımaktadır. Çalışma esasları temelde kinematik ve dinamik analizlerin neticesi olarak gerçekleştirilen robot kolları ile bütünleşik sistemler kurularak endüstriyel alanda hızlı gelişmeler kaydedilebilecektir. Robot kolu uzuv sayısı arttıkça oluşturulan sistemin iş yapabilme kabiliyeti artacağından, daha fazla uzva sahip robot kolları için çözümler yapılarak sistemin performansı artırılabilir. Bu çalışmada iki eklemlili bir robot kolunun tasarlanmasında en zayıf bölge olan eklem noktalarına gelen kuvvetler görülmüştür. Çalışmamızda tasarladığımız iki eklemlili robot kolu daha büyük boyutlarda analiz edilerek iş yapabilme gücü de artırılmaktadır.

## KAYNAKLAR :

1. **SPONG M. W. , VIDYASAGAR M. ,** 1989 , “ Robot Dynamics and Control ”, John Wiley & Sons Inc. , 336 s.
2. **ASADA , H. , and SLOTINE J.E. ,** 1986 , Robot analysis and Control , John Wiley&Sons , New York
3. **PAUL R. P. ,** 1981 , “ Robot Manipulators : Mathematics , Programming and Control “ , MIT Press , 279 s.
4. **BEJEZY, A. K. ,** Robot Arm Dynamics and Control. NASA – JPL Technical Memorandum. 33-669. Feb. 1974.
5. **FU , K.S. , GONZALEZ , R.C. and LEE C.S.G. , 1987 , Robotics : Control ,** Sensing , Vision and Intelligence , McGraw-Hill Book Company , New York
6. **S. BULUT and M.B. TERZIOGLU,** “ Joint angle variations analyses of the two link planer manipulator in welding by using inverse kinematics ”, *Robotica*, 2006, Vol. 24, 355-363.
7. **J. M. HOLLERBACK and S. GIDEON,** “ Wrist-Partitioned inverse kinematic accelations and manipulator dynamics “. *Int. J. Rrobotics Res.*, 4 , 61-76, 1983.
8. **HEMAMI, H., JASWA, V.C., and MCGHEE, R.B.,** “Some Alternative Formulations of Manipulator Dynamics for Computer Simulation Studies”, *Allerton Conf. on Communication, Control and Computing*, Monticello, IL, Oct., 1975.
9. **SILVER, D.B.,** “On the Equivalence of Lagrangian and Newton-Euler Dynamics for Manipulators”, *Int. J.Robotics Res.*, No. 2, 1982.
10. **S. AMSTRONG, O. KHATİP, and J. BURDİCK,** “ The Explicit Dynamic Model and Inertial Parameters of the PUMA 560 Arm”, *Stanford Artificial Intelligence Laboratory Stanford University*, Vol. 510-518.
11. **P. I. CORKE,** “ A Search for Consensus Among Model Parameters Reported for the PUMA Robot ”, Div. Manufacturing Technolog, CSIRO, *Preston*, 3072, Australia
12. [www.tamagawa-seiki.co.ud](http://www.tamagawa-seiki.co.ud)

## ÖZGEÇMİŞ

Bu tezi hazırlayan Merdin Danışmaz, Trabzon'un Araklı ilçesinde doğmuştur. İlköğrenimi Sahil İlköğretim Okulu'nda, liseyi Araklı Lise'sinde ve lisans öğrenimi Cumhuriyet Üniversitesi Makine Mühendisliği Bölümü'nde yapmıştır.

Bekar ve özel bir şirkette Makine Mühendisi olarak çalışmaktadır.

## EK1: ROBOT KOLU TASARIMI İÇİN MATLAB'DA YAZILAN PROGRAM (PLANAR)

```
clear L

L{1}=link([0 0.20 pi/6 0])
L{2}=link([0 0.12 pi/3 0])

L{1}.m=1.81
L{2}.m=0.50

L{1}.r=[0.10 0.025]
L{2}.r=[0.06 0.015]

L{1}.I=[.056 .034 0 0 0 0]
L{2}.I=[.056e-3 .0628e-3 0 0 0 0]

L{1}.Jm=27.9e-6
L{2}.Jm=15.7e-6

L{1}.G=-5.24
L{1}.G=5.28

% Viscous friction (motor referenced)

L{1}.B=0.0165
L{2}.B=0.01122

% Coulomb friction (motor referenced)

L{1}.Tc=[.03 -.0275]
L{2}.Tc=[.0204 -.0187]

% some useful poses qz=[0 0];
% zero angles, L shaped pose;

qz=[0 0]
qr=[0 pi/3] % ready pose, arm up;
qstretch=[0 pi/2]

planar=robot(L,'planar','Unimation','params of 8/95')
clear L
planar.name='planar';
planar.manuf='Unimation';
```